

# Lecture 16 – BJT-part1

**Chapter 6** from **Microelectronic Circuits** Text by Sedra and Smith  
Oxford Publishing

- 8.1 三极管的结构和工作原理
  - 8.1.1 重点介绍NPN管的结构和工作原理
  - 8.1.2 认识NPN管和PNP管的符号和结构差异
- 8.2 三极管的特性及其等效模型
  - 8.2.1 输入特性、输出特性和转移特性
  - 8.2.2  $\pi$ 型和T型等效电路（中频）
- 8.3 三极管放大电路的构成及其分析
  - 8.3.1 直流偏置电路及其分析
  - 8.3.2 三种接法放大电路的分析计算

# Introduction

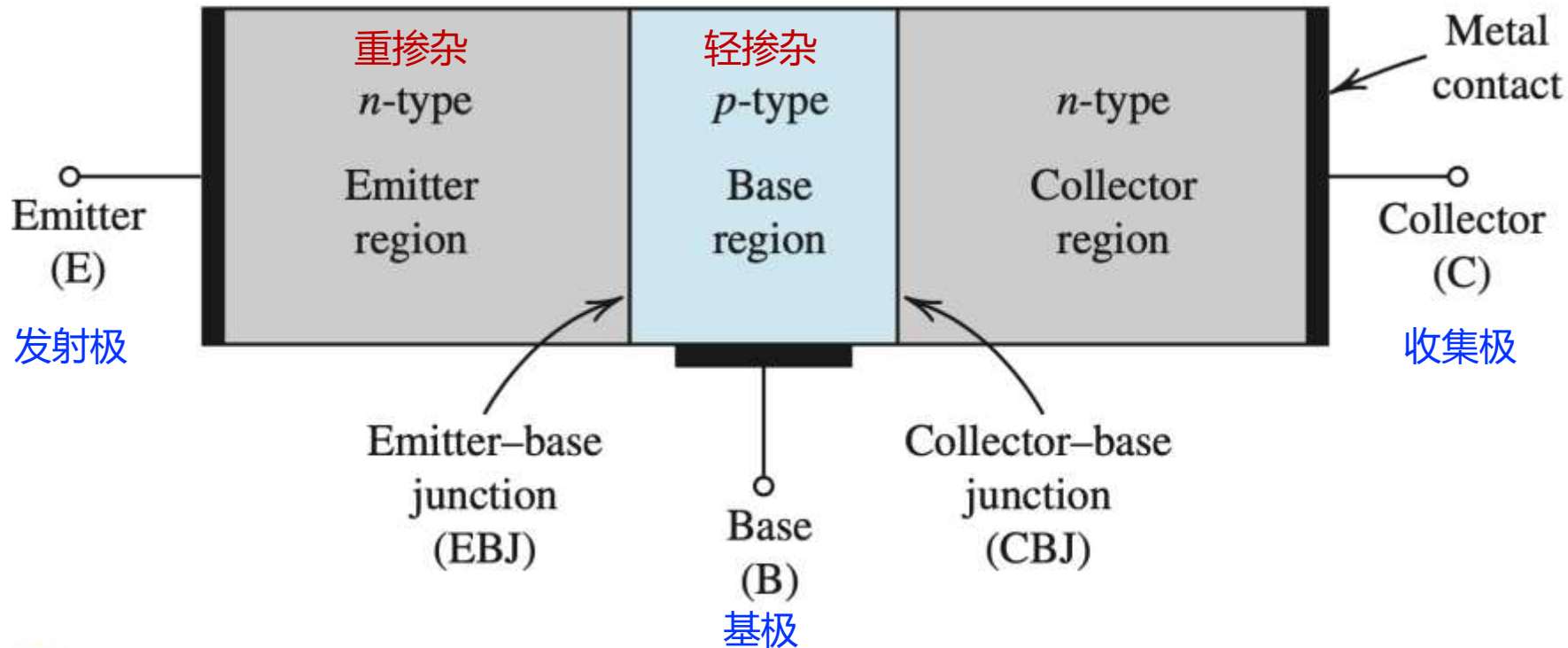
## ■ IN THIS CHAPTER YOU WILL LEARN

- The **physical structure** of the bipolar transistor and how it works. 三极管的物理结构
- How the voltage between two terminals of the transistor **controls the current that flows through the third terminal**, and the equations that describe these current-voltage relationships. 三极管的“电压电流约束关系”
- How to **analyze and design circuits** that contain bipolar transistors, resistors, and dc sources. 三极管电路DC分析

# Introduction

- This chapter examines another **three-terminal device**.
  - **bipolar junction transistor**
    - Presentation of this material mirrors **chapter 5**.
- BJT was **invented in 1948** at Bell Telephone Laboratories.
  - Ushered in a new era of **solid-state circuits**.
  - It was **replaced by MOSFET** as predominant transistor used in modern electronics.

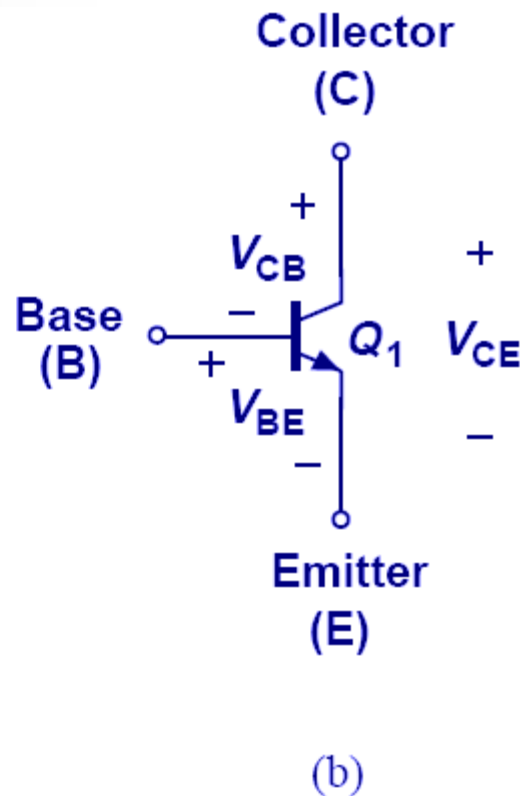
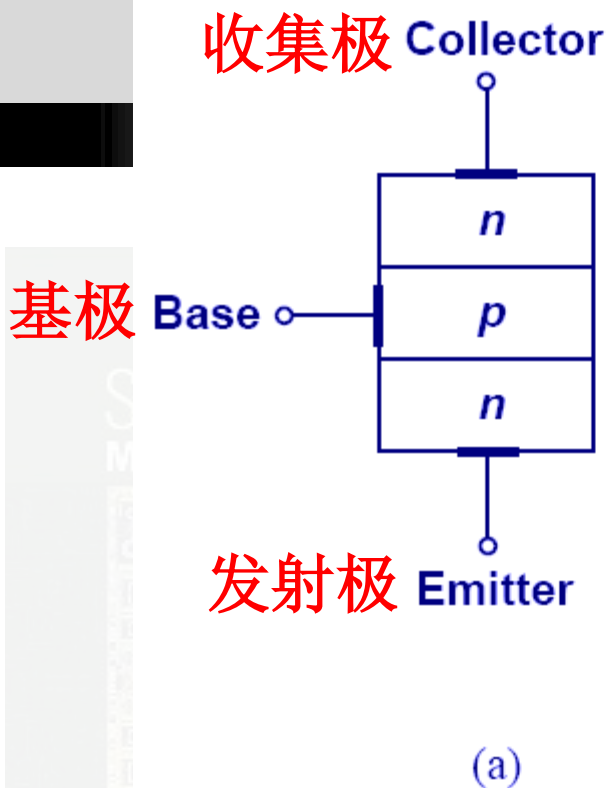
# 三极管的结构



**Figure 6.1** A simplified structure of the *npn* transistor.

## 三极管的结构和符号

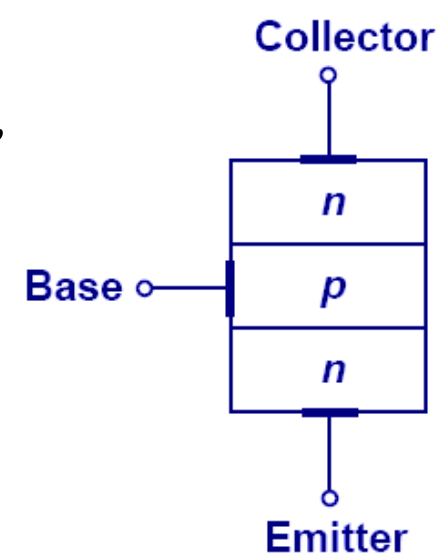
三极管的电路符号用“**Q**”，而MOSFET用“**M**”，箭头标在发射极，方向表示电流方向



- 三极管可看成由不同掺杂半导体构成的三明治结构，如上图所示的npn，另一种可能是pnp；（两侧的掺杂性质一致，并与中间的掺杂性质相反）

注意和MOSFET的区别:

1. MOSFET 能实现放大功能的区域称为“饱和区”
2. Bipolar 能实现放大功能的区域称为“放大区”



(a)

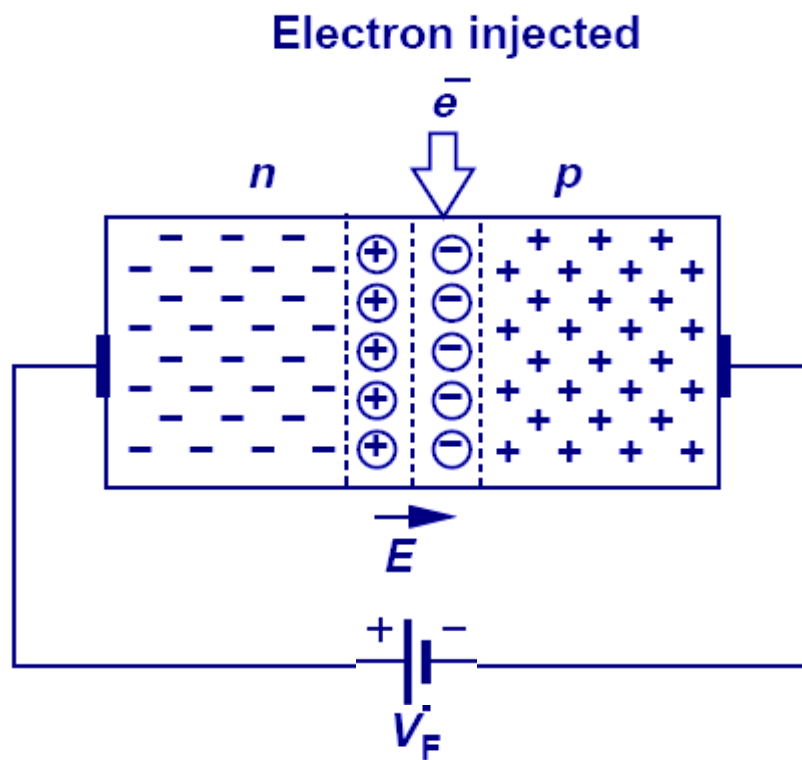
- Transistor consists of **two *pn*-junctions**:
  - **emitter-base** junction (EBJ)
  - **collector-base** junction (CBJ)
- Operating **mode** depends on biasing.
  - **active** mode – used for **amplification** ①放大区
  - **cutoff** and **saturation** modes – used for **switching**. ②截止区; ③饱和区 和Mos管反一下

**Table 6.1** BJT Modes of Operation

Mode	EBJ	CBJ
Cutoff	Reverse	Reverse
Active	Forward	Reverse
Saturation	Forward	Forward

# 载流子的注入

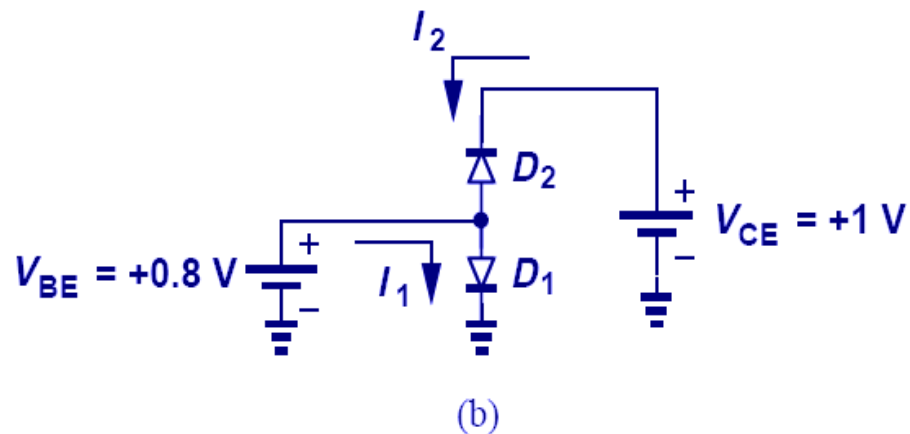
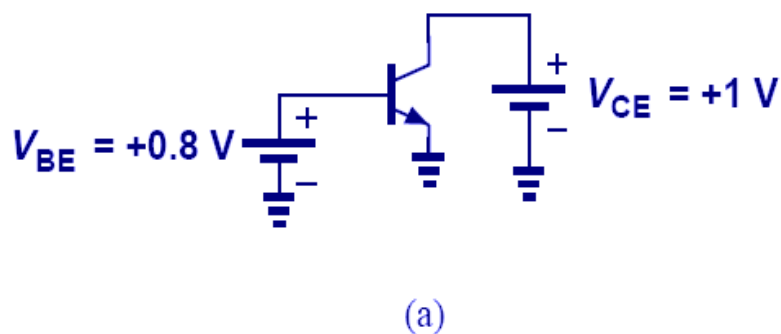
思考：如果有自由电子注入到反偏pn结的耗尽区，会怎样？



- 反偏pn结在耗尽区会形成一个较强的电场，电子若注入到（暂时不考虑如何注入）耗尽区，就会在电场作用下，迅速被扫到左侧n区域；
- 这一现象是三极管工作的基础；



# Forward Active Region (放大区)

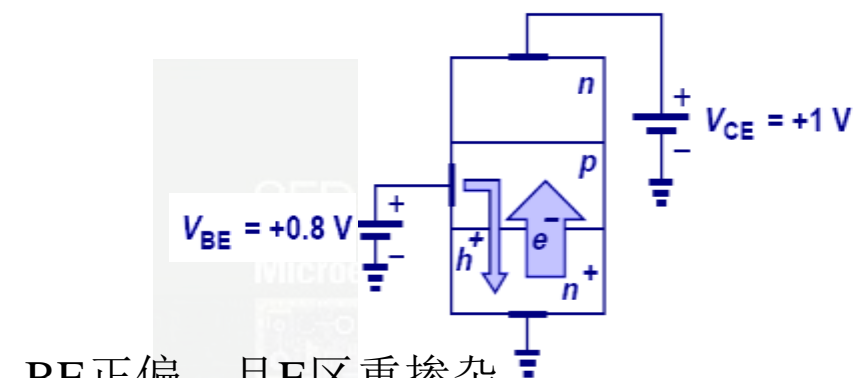


简单的两个二极管相连不会有放大特性，因此，三极管必有**特殊**的结构以实现放大性能

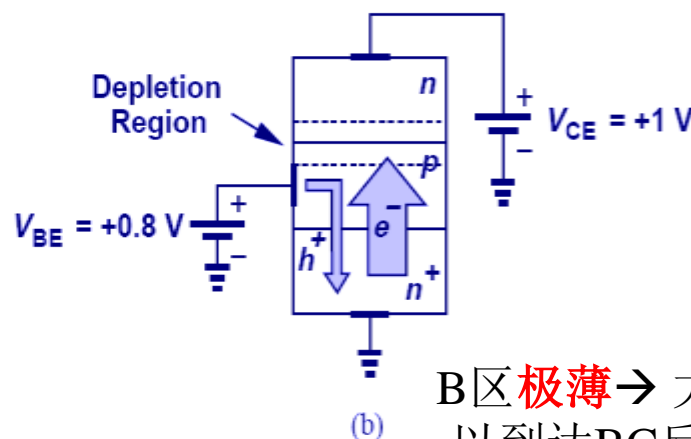
- 放大区的定义: BE正偏 ( $V_{BE} > 0$ ), BC反偏 ( $V_{BC} < 0$ ).
- 但三极管并非简单的两个二极管的相连 (为何?)

# 三极管的工作原理 (放大区)

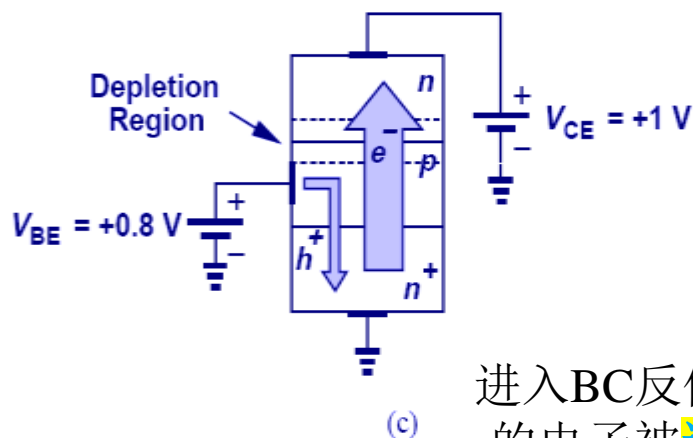
**特殊性**在于：  
**基区特别薄**（约10nm）



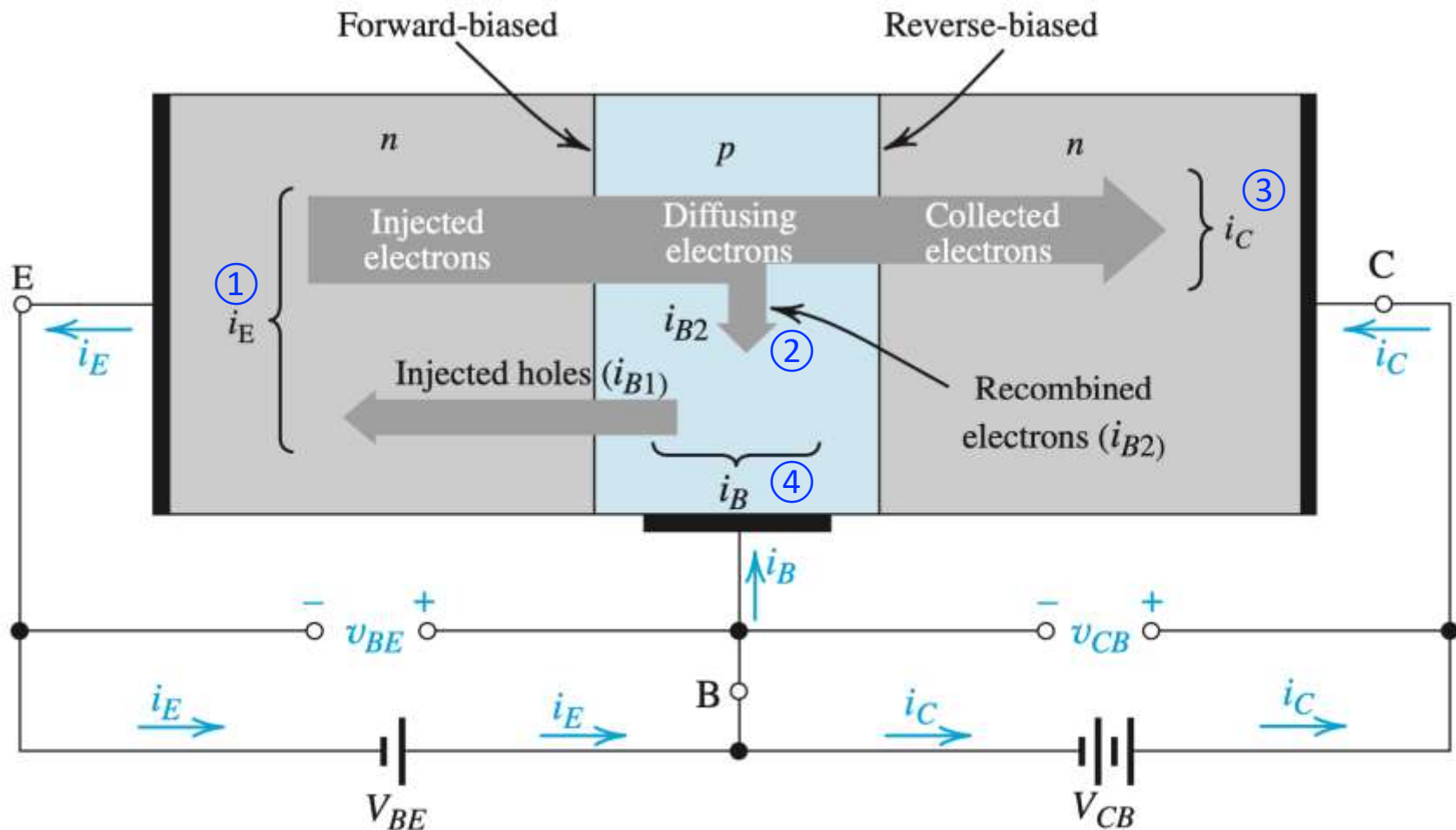
BE正偏，且E区重掺杂  
→ **大量**电子从E进入B，  
**少量**空穴从B进入E



B区**极薄**→ 大部分电子可以到达BC反偏pn结的耗尽区（**即大量电子被注入到反偏pn结的耗尽区**）



进入BC反偏pn结耗尽区的电子被**迅速扫到**C区



**Figure 6.3** Current flow in an npn transistor biased to operate in the active mode. (Reverse current components due to drift of thermally generated minority carriers are not shown.)

① 发射极电流  $i_E$  由两部分组成，但主要是电子电流【三极管的工作需要两种载流子参与，所以叫Bipolar】

② 电子电流在经过基区时，一小部分被空穴复合，形成  $i_{B2}$

③ 电子电流大部分到达收集极，形成  $i_C$

④  $i_{B1}$  和  $i_{B2}$  组成  $i_B$

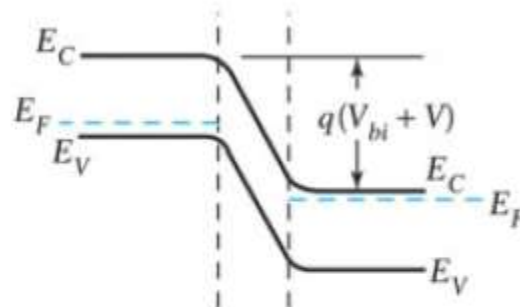
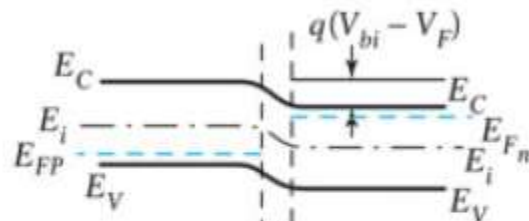
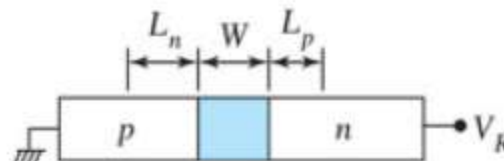
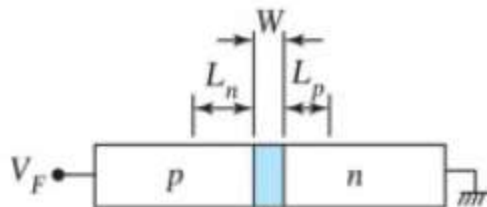
Q: How about MOSFET?

A: 一种，所以MOSFET也叫unipolar

# 补充：PN结正偏、反偏时少子浓度的分布

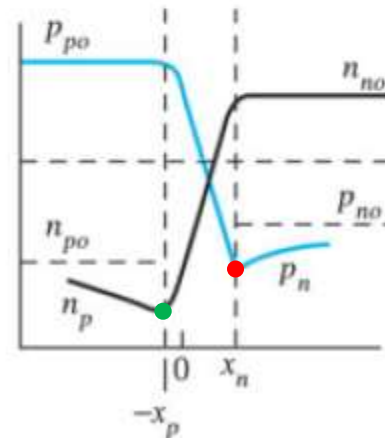
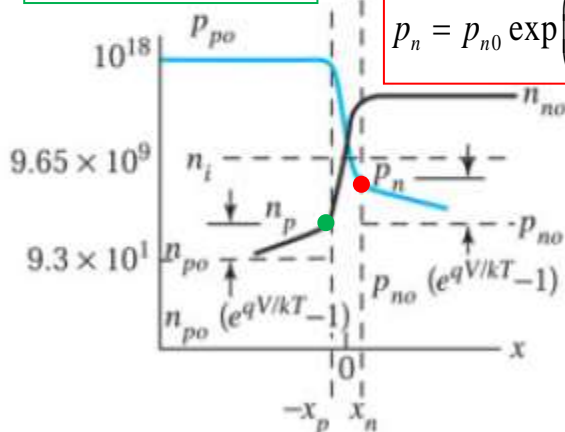
不作要求

**重点关注：**  
耗尽区边界- $x_p$ ,  $x_n$   
的少子浓度



$$n_p = n_{p0} \exp\left(\frac{qV}{kT}\right)$$

$$p_n = p_{n0} \exp\left(\frac{qV}{kT}\right)$$



$$p_n = p_{n0} \exp\left(\frac{qV}{kT}\right)$$

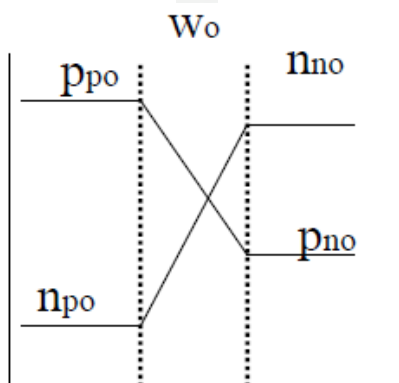
$$n_p = n_{p0} \exp\left(\frac{qV}{kT}\right)$$

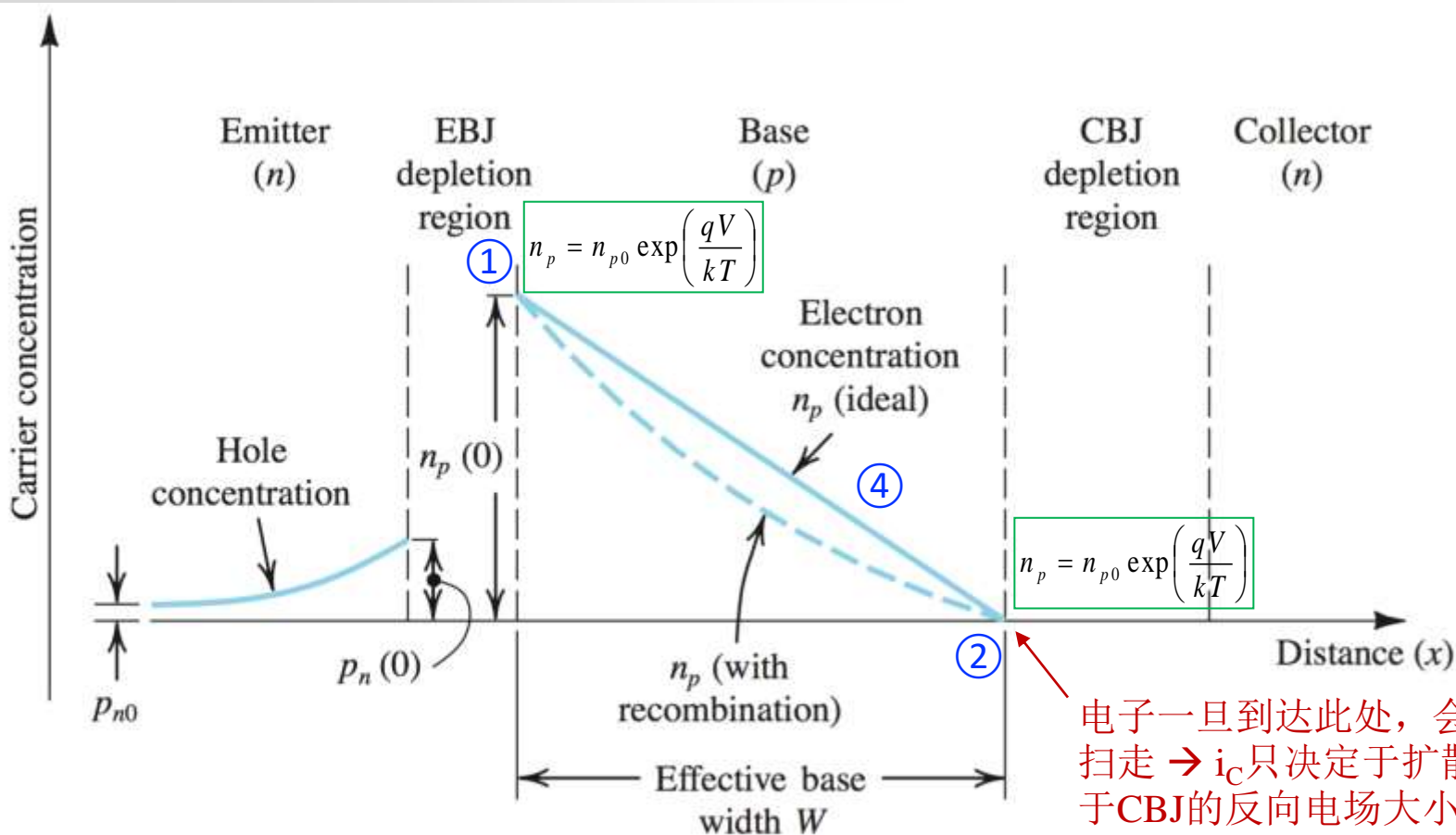
(a) 正偏,  $V > 0$

(b) 反偏,  $V < 0$

Depletion region, energy band diagram and carrier distribution. (a) Forward bias. (b) Reverse bias.

Thermal equilibrium





电子一旦到达此处，会被迅速扫走 →  $i_c$  只决定于扩散电流，于 CBJ 的反向电场大小无关

**Figure 6.4** Profiles of minority-carrier concentrations in the base and in the emitter of an *npn* transistor operating in the active mode:  $v_{BE} > 0$  and  $v_{CB} \geq 0$ .

EBJ的面积

- ① 正偏pn结在p侧的电子浓度较高 ( $V > 0$ )
- ② 反偏pn结在p侧的电子浓度很低 ( $V < 0$ ) ,  $\approx 0$
- ③ 基区电子浓度存在梯度 → 形成扩散电流
- ④ 基区很薄 → 电子浓度的分布曲线近似为线性

$$I_n = A_E q D_n \frac{dn_p(x)}{dx}$$

$$= A_E q D_n \left( -\frac{n_p(0)}{W} \right)$$

$$i_C = I_S e^{v_{BE}/V_T}$$

$$I_S = A_E q D_n n_{p0} / W$$

# 集电极电流

正偏电压影响很大，BC只需反偏即可

似曾相识？

与二极管的I/V  
特性一致

不足为奇，因为  
BE本来就是一个正偏的二极管

再观察一下：

$I_C$ 受 $V_{BE}$ 影响巨大，但不受 $V_{CE}$ 的影响 → 理想的压控电流源

$$i_C = I_S e^{v_{BE}/V_T}$$

$$I_S = A_E q D_n n_{p0} / W$$

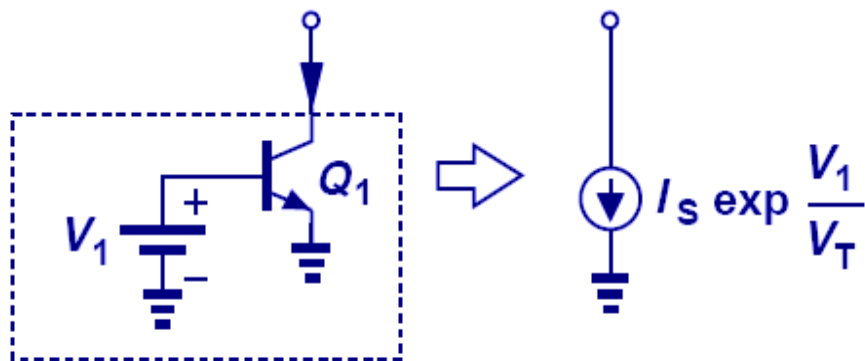
$$n_{p0} = n_i^2 / N_A$$

$$I_S = \frac{A_E q D_n n_i^2}{N_A W}$$

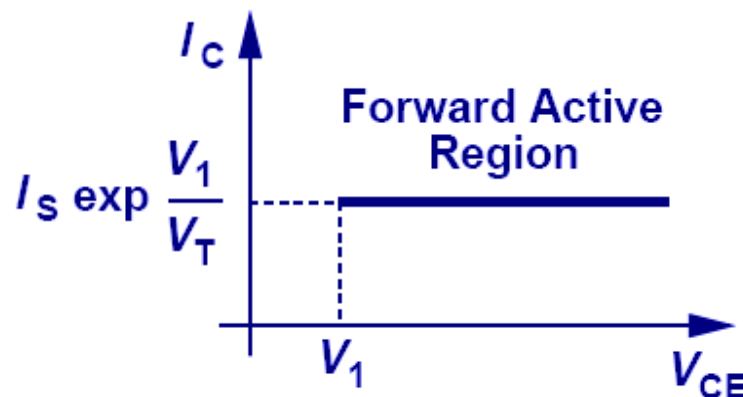
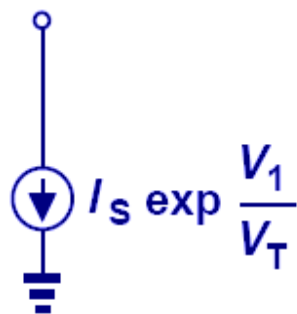
基区掺杂浓度

- $I_S$ 与基区宽度 $W$ 成反比
- $I_S$ 与发射极结面积 $A_E$ 成正比
- $I_S$ 与 $n_i^2$ 成正比，**强温度相关性**

# 恒流源特性 ( $I_C$ 不随 $V_{CE}$ 变化)



(a)



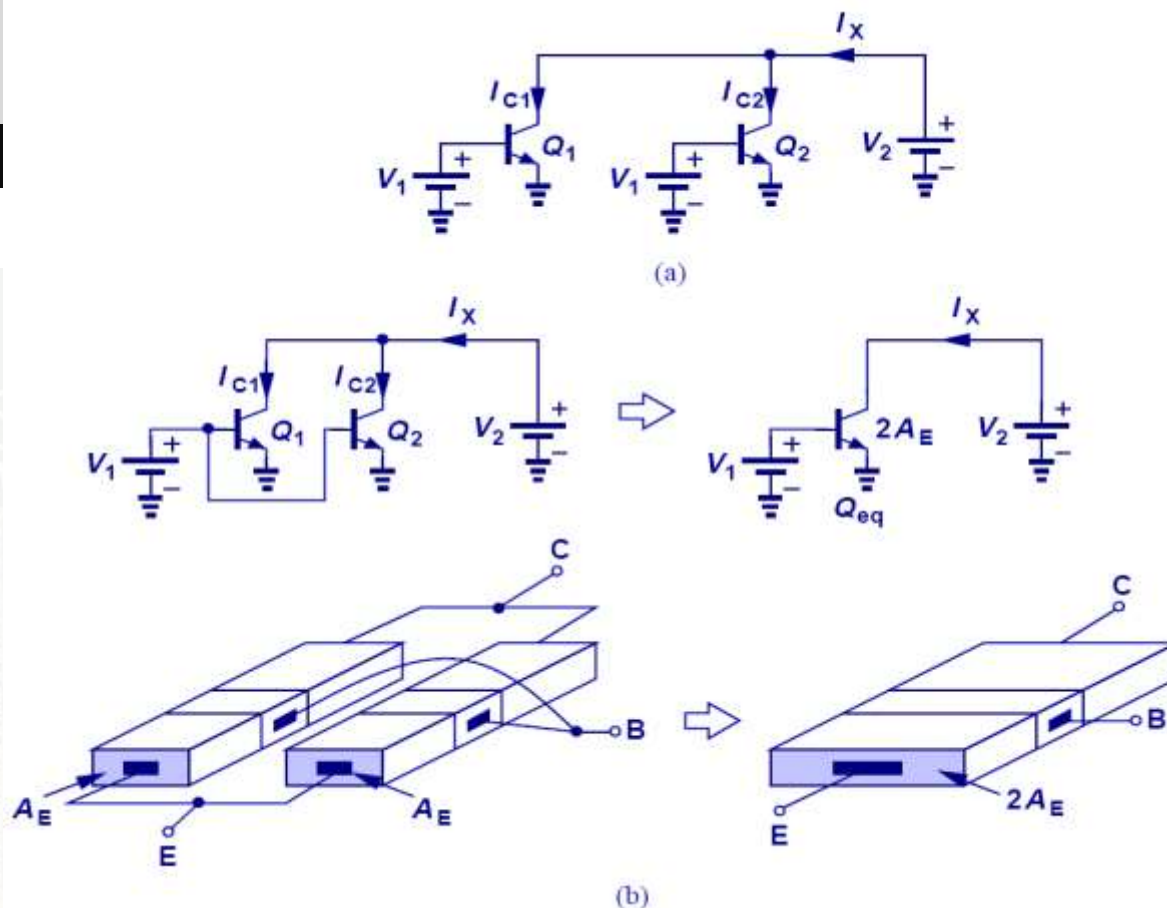
(b)

- 理想情况下,  $I_C$ 不随 $V_{CE}$ 变化, 只决定于 $V_{BE} \rightarrow$  当 $V_{BE}$ 固定时, 三极管具有很好的恒流源特性;



# 并联三极管

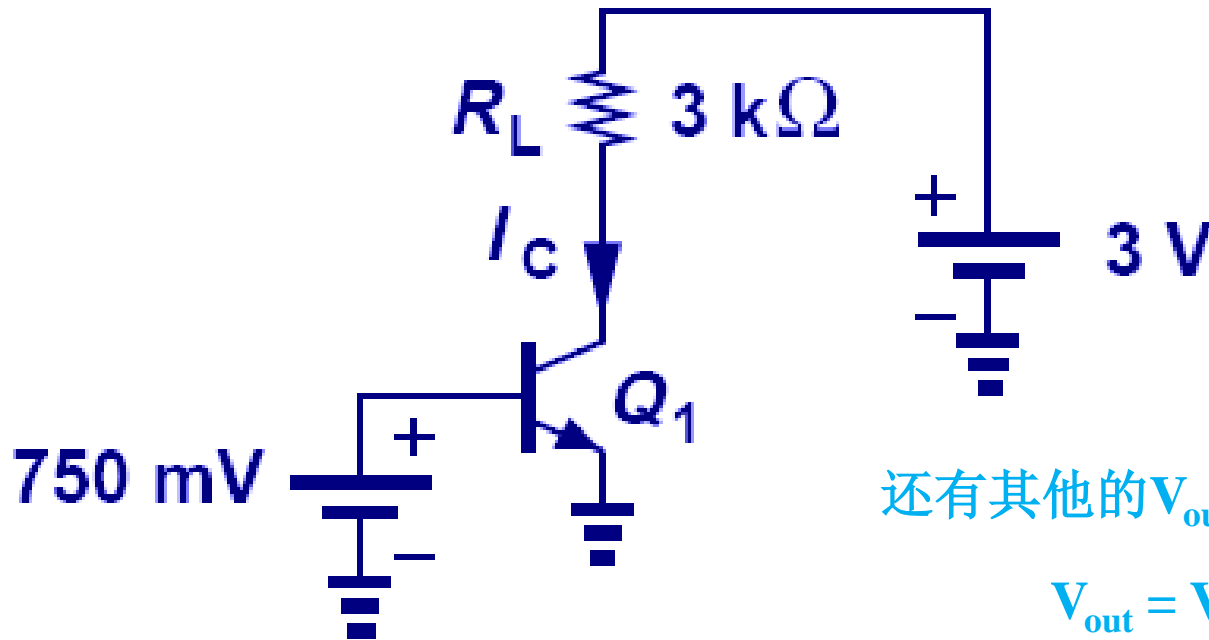
$$I_C = \frac{A_E q D_n n_i^2}{N_E W_B} \left( \exp \frac{V_{BE}}{V_T} - 1 \right)$$



- 当两个相同的三极管并联（E、B、C均电位相等）→ 可看做单一的三极管（面积加倍）



## 简单的三极管电路



- 晶体管将电压转换成电流，那么如何将电流再转换成电压呢？（实际应用中，一般希望是电压放大成电压，而非电压放大成电流）
- 在C极和 $V_{CC}$ 之间插入一个负载电阻（load resistor），那么流过负载电阻的电压即是输入电压信号的放大。

# 例

## Example 4.5

Determine the output voltage in Fig. 4.10 if  $I_S = 5 \times 10^{-16}$  A.

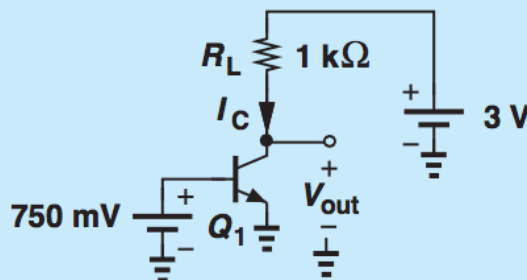


Figure 4.10 Simple stage with biasing.

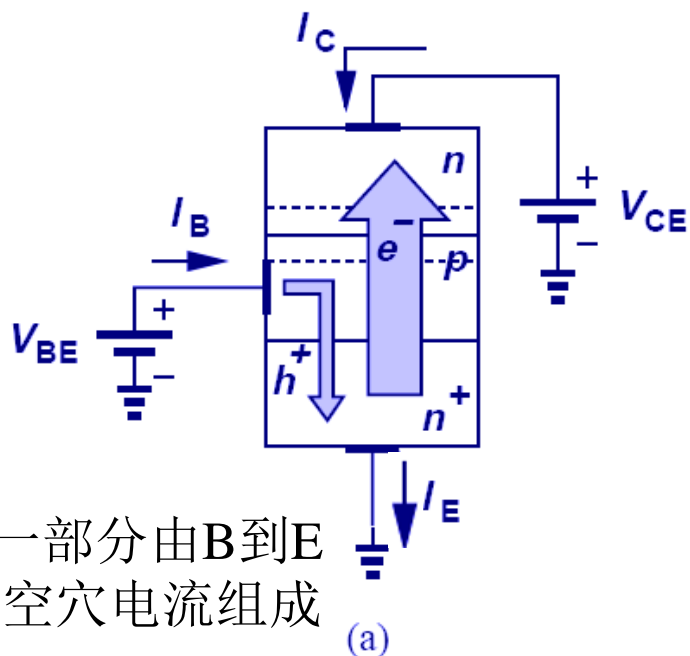
$$I_C = I_S \exp \frac{V_{BE}}{V_T}, \quad (4.9)$$

**Solution** Using Eq. (4.9), we write  $I_C = 1.69$  mA. This current flows through  $R_L$ , generating a voltage drop of  $1 \text{ k}\Omega \times 1.69 \text{ mA} = 1.69$  V. Since  $V_{CE} = 3 \text{ V} - I_C R_L$ , we obtain

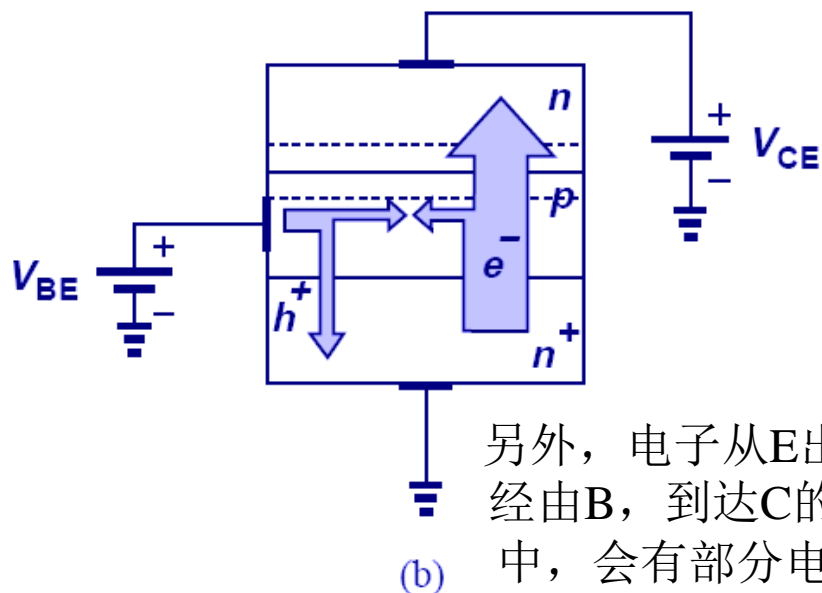
$$V_{out} = 1.31 \text{ V}. \quad (4.19)$$

公式（4.9）的前提是三极管工作在“放大区”，即 BE 正偏，BC 反偏

# 基极电流 ( $i_B$ )



$$i_B = \frac{i_C}{\beta}$$

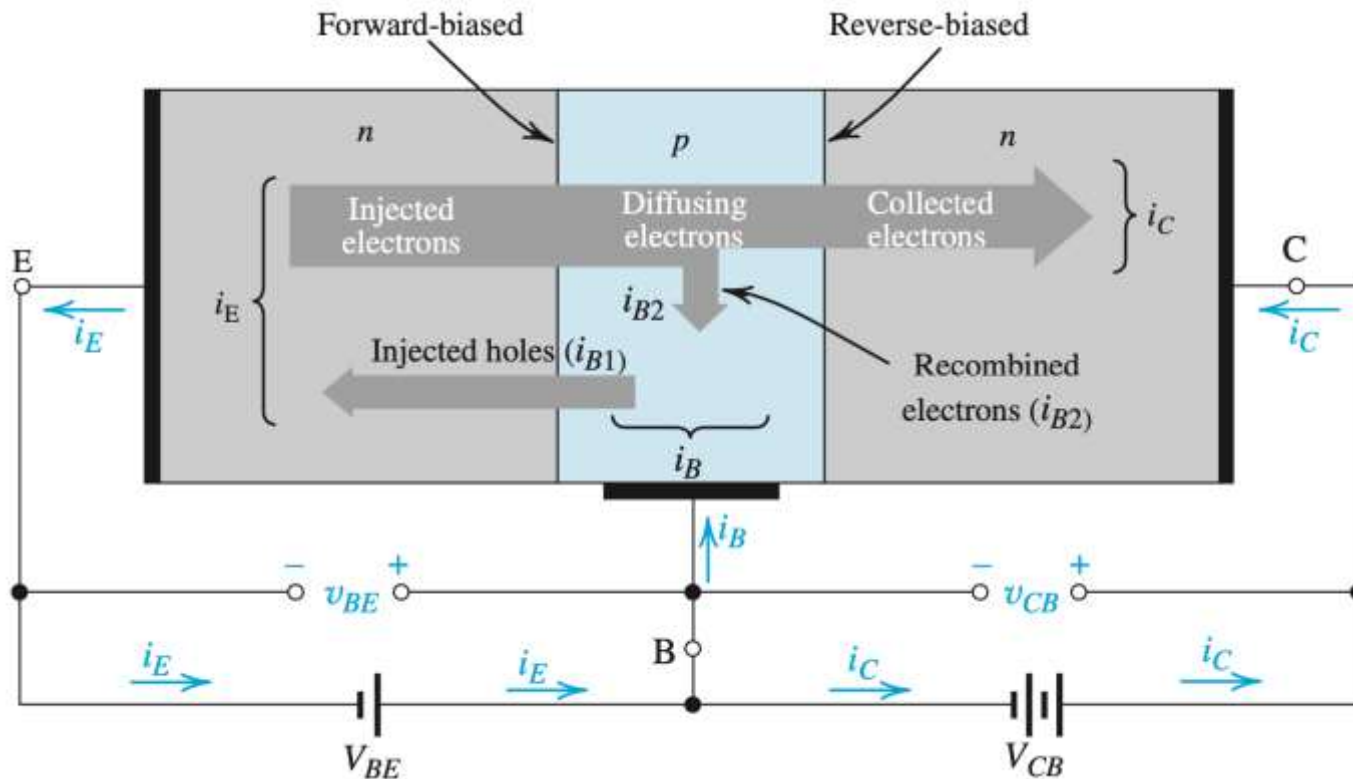


$$i_B = \left( \frac{I_S}{\beta} \right) e^{v_{BE}/V_T}$$

- $I_B$  由上述两部分组成，但总和与 $i_C$ 成比例，该比例定义为电流增益 $\beta$

# 发射极电流 $i_E$

- 应用基尔霍夫电流定律， $i_E$  是  $i_B$  和  $i_C$  之和



$$i_E = i_C + i_B$$

$$i_B = \frac{i_C}{\beta}$$

$$i_E = \frac{\beta + 1}{\beta} i_C$$

$$i_E = \frac{\beta + 1}{\beta} I_S e^{v_{BE}/V_T}$$

定义:  $i_C = \alpha i_E$      $\alpha = \frac{\beta}{\beta + 1}$

\*  $\beta$  很大, 所以  $\alpha$  接近于 1

$$i_E = (I_S / \alpha) e^{v_{BE}/V_T}$$

## 三极管电流表达式总结

$$I_C = I_S \exp \frac{V_{BE}}{V_T}$$

$$I_B = \frac{1}{\beta} I_S \exp \frac{V_{BE}}{V_T}$$

$$I_E = \frac{\beta + 1}{\beta} I_S \exp \frac{V_{BE}}{V_T}$$

$$\frac{\beta}{\beta + 1} = \alpha$$

因果，及**计算顺序**：  $V_{BE} \rightarrow I_C \rightarrow I_B \rightarrow I_E$  即，

①用公式1从 $V_{BE}$ 计算出 $I_C$ （压控电流源）；

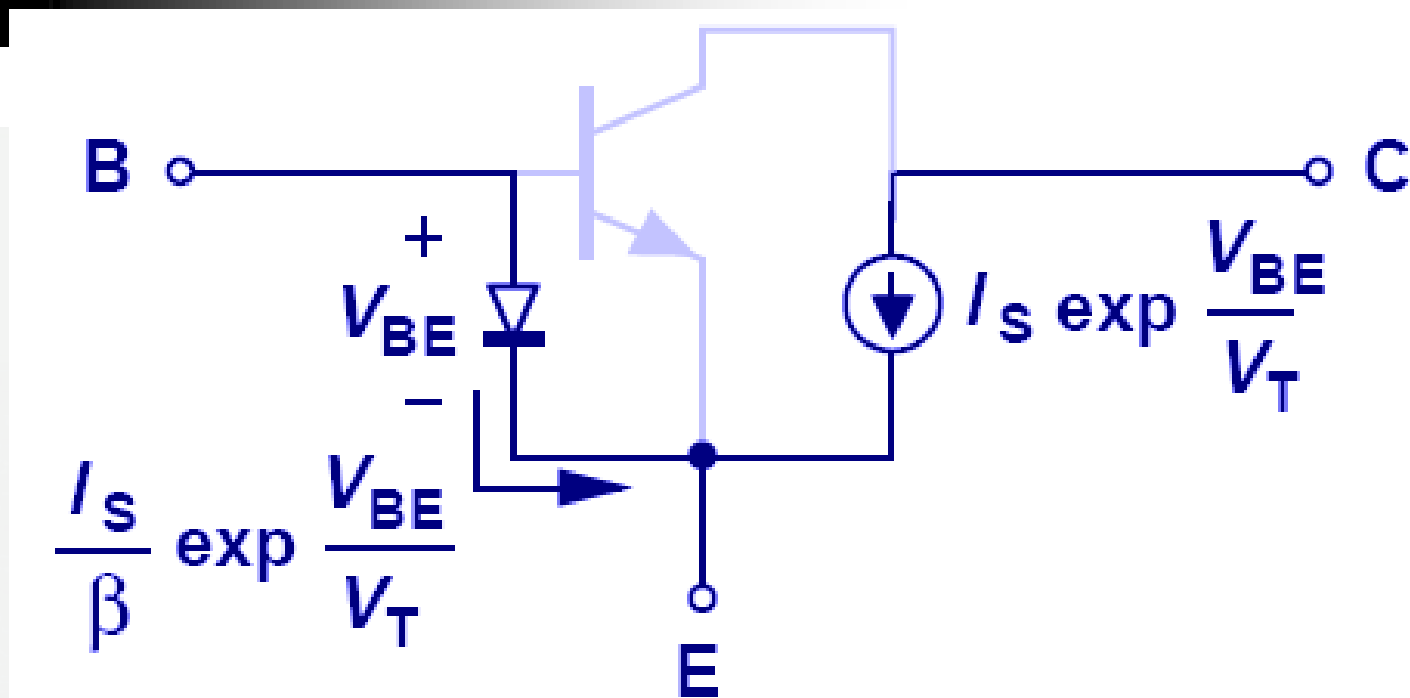
② $I_B$ 是 $I_C$ 的 $1/\beta$ ；（工作在放大区时， $\beta$ 较大，也即 $I_B$ 很小）

③ $I_E$ 为 $I_C$ 和 $I_B$ 之和；（工作在放大区时，因为 $I_B$ 很小，所以 $I_E \approx I_C$ ； $I_C = \alpha \times I_E$ ， $\alpha \approx 1$ ）

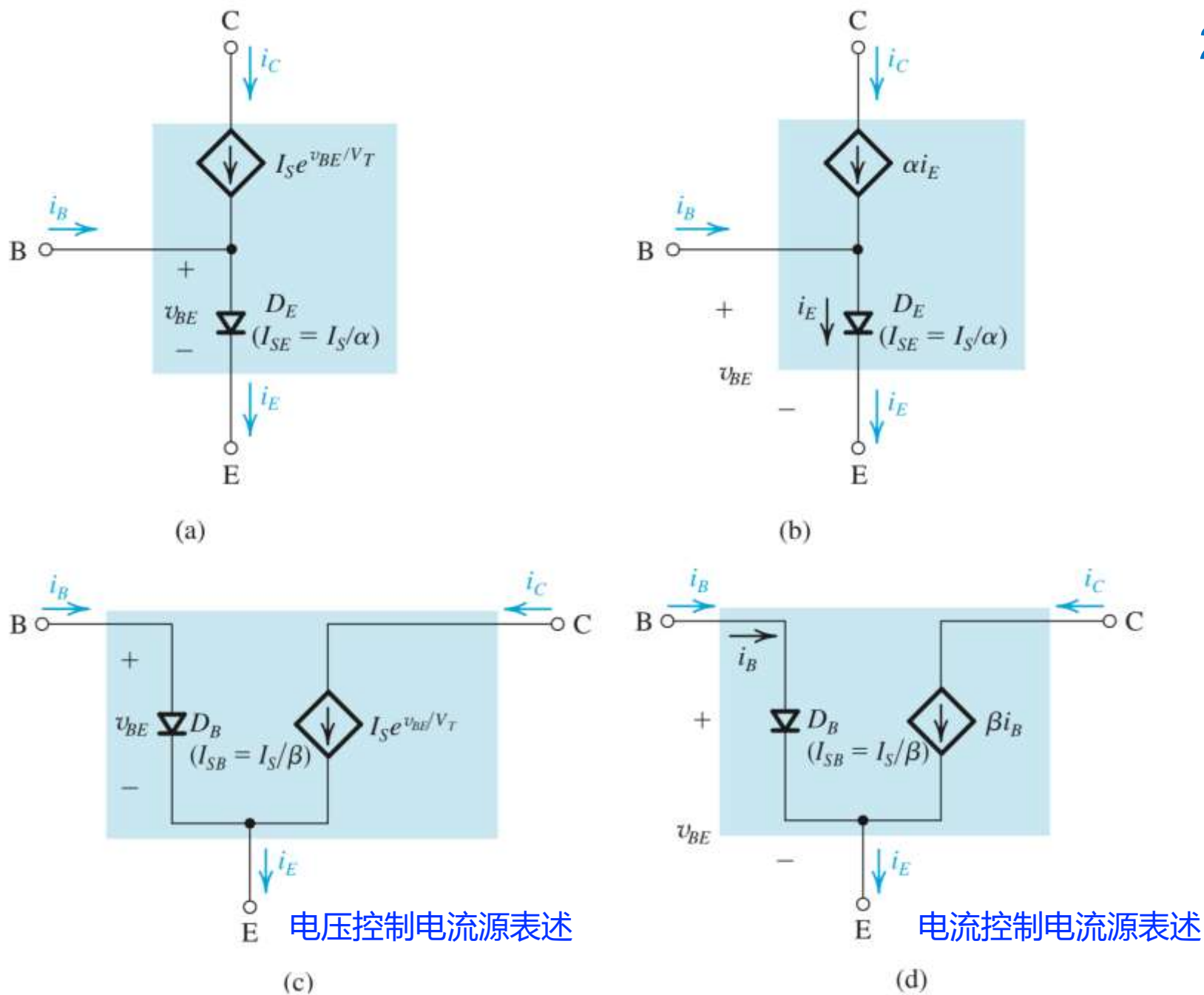
# 三极管放大区的大信号模型 (Large Signal Model)

所谓**大信号模型**，就是对信号的幅度要求没有限制，是普遍适用的电路模型，是器件“电压电流约束关系”的等效电路表述。而“**小信号模型**”，是大信号模型某一直流工作点附近的线性化近似

22

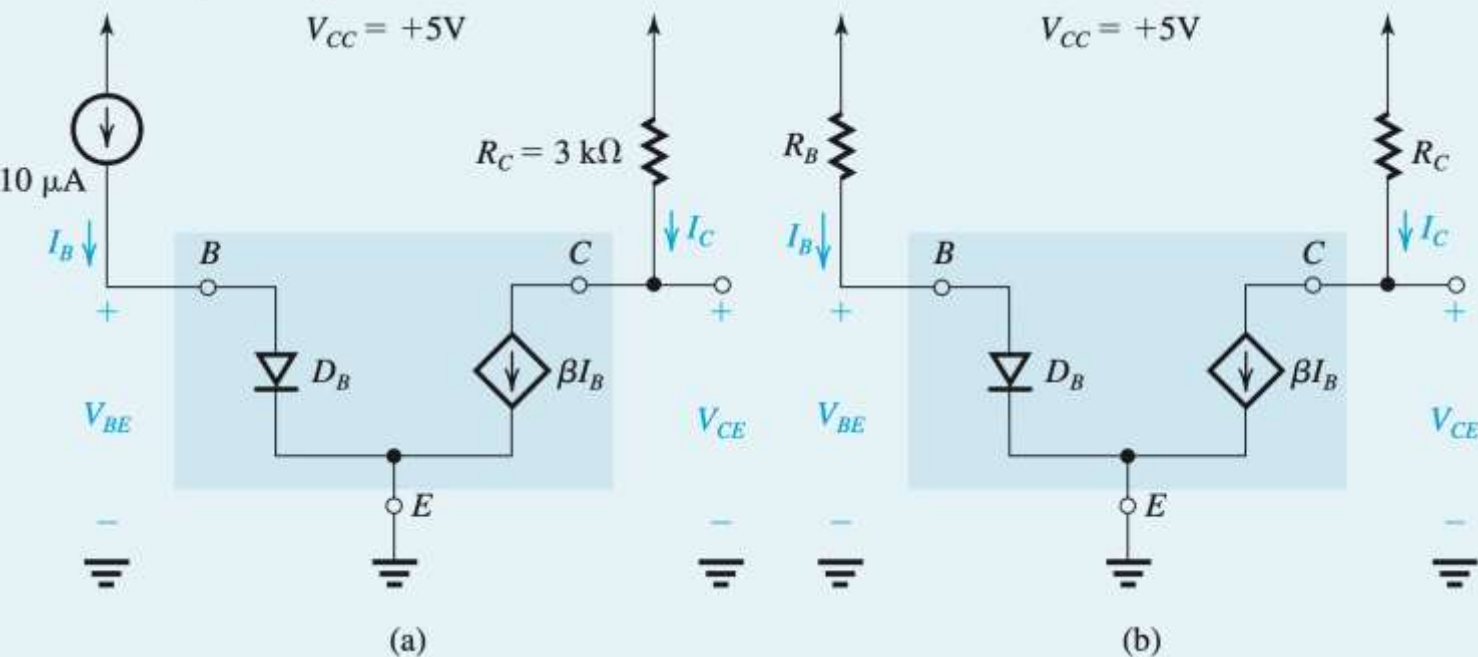


- CE之间用压控电流源表示；
- BE之间用正偏二极管表示（注意 $\beta$ ）；
- 需注意：始终要确保三极管工作在放大区（即BE正偏，BC反偏）



**Figure 6.5** Large-signal equivalent-circuit models of the *n*pn BJT operating in the forward active mode.

An *npn* transistor having  $I_S = 10^{-15}$  A and  $\beta = 100$  is connected as follows: The emitter is grounded, the base is fed with a constant-current source supplying a dc current of  $10\text{ }\mu\text{A}$ , and the collector is connected to a 5-V dc supply via a resistance  $R_C$  of  $3\text{ k}\Omega$ . Assuming that the transistor is operating in the active mode, find  $V_{BE}$  and  $V_{CE}$ . Use these values to verify active-mode operation. Replace the current source with a resistance connected from the base to the 5-V dc supply. What resistance value is needed to result in the same operating conditions?

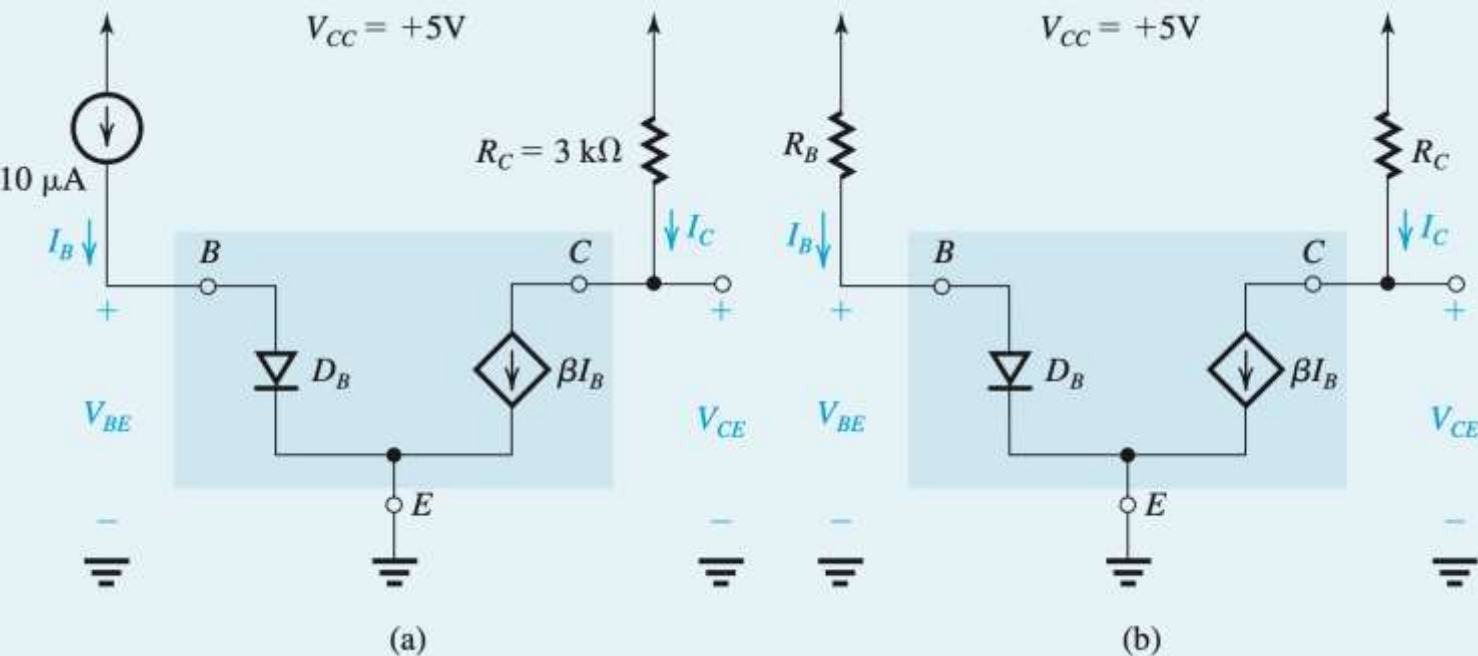


$$\textcircled{1} \quad V_{BE} = V_T \ln \frac{I_B}{I_S/\beta} = 690\text{ mV}$$

$$\left. \begin{aligned} V_{CE} &= V_{CC} - R_C I_C \\ I_C &= \beta I_B \end{aligned} \right\} V_{CE} = +2\text{ V} > 0.69\text{ V}$$



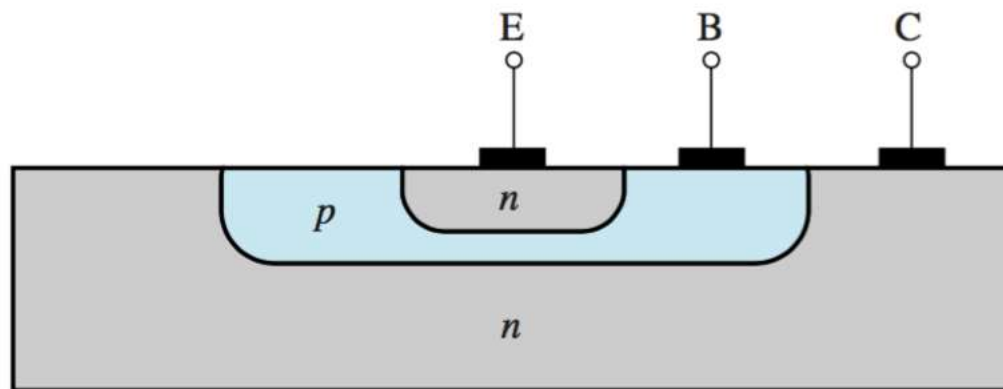
An *npn* transistor having  $I_S = 10^{-15}$  A and  $\beta = 100$  is connected as follows: The emitter is grounded, the base is fed with a constant-current source supplying a dc current of  $10\text{ }\mu\text{A}$ , and the collector is connected to a 5-V dc supply via a resistance  $R_C$  of  $3\text{ k}\Omega$ . Assuming that the transistor is operating in the active mode, find  $V_{BE}$  and  $V_{CE}$ . Use these values to verify active-mode operation. Replace the current source with a resistance connected from the base to the 5-V dc supply. What resistance value is needed to result in the same operating conditions?



②

$$R_B = \frac{V_{CC} - V_{BE}}{I_B} = \frac{5 - 0.69}{10\text{ }\mu\text{A}} = 431\text{ k}\Omega$$

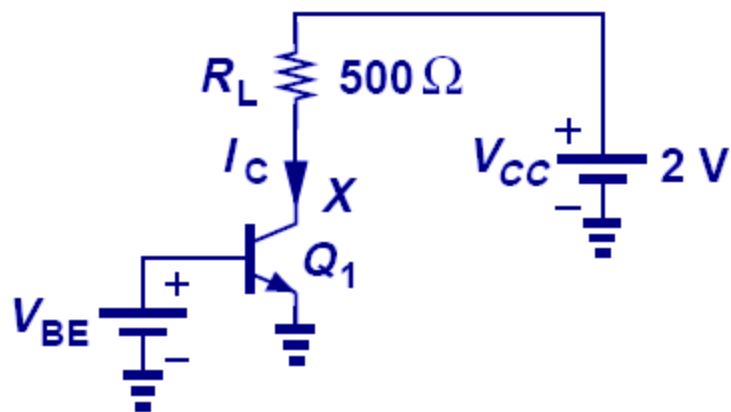
# 实际三极管的结构



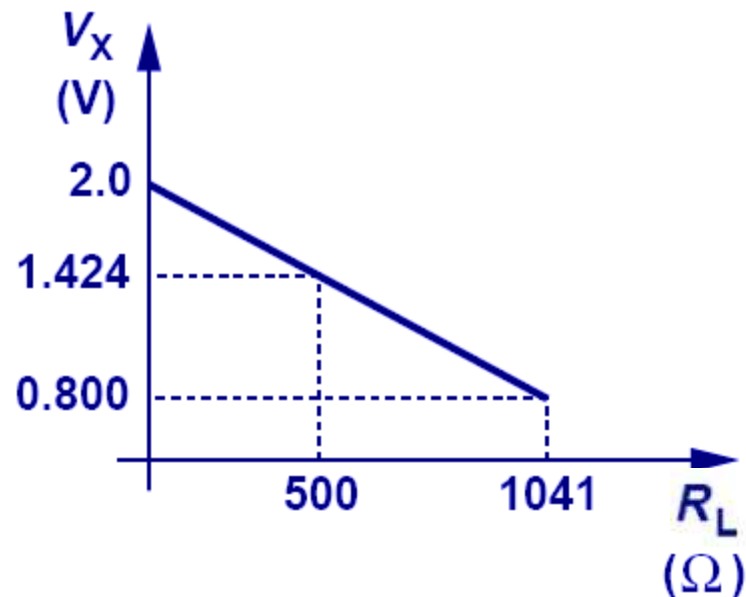
**Figure 6.7** Cross-section of an *nnp* BJT.

- BC 结面积远远大于 BE 结面积  $\rightarrow$  BC 的  $I_s \gg$  BE 的  $I_s$
- 结构非对称，与 MOSFET 比较
- 从 E 发射出的电子，经过极薄的 B 区，被 C 所收集

若要保持三极管工作于放大区，  
负载电阻  $R_L$  最大可为多少？

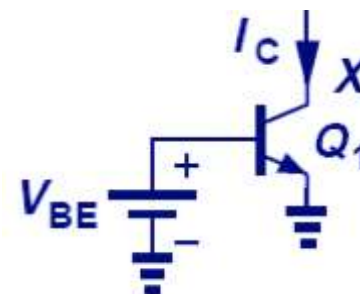
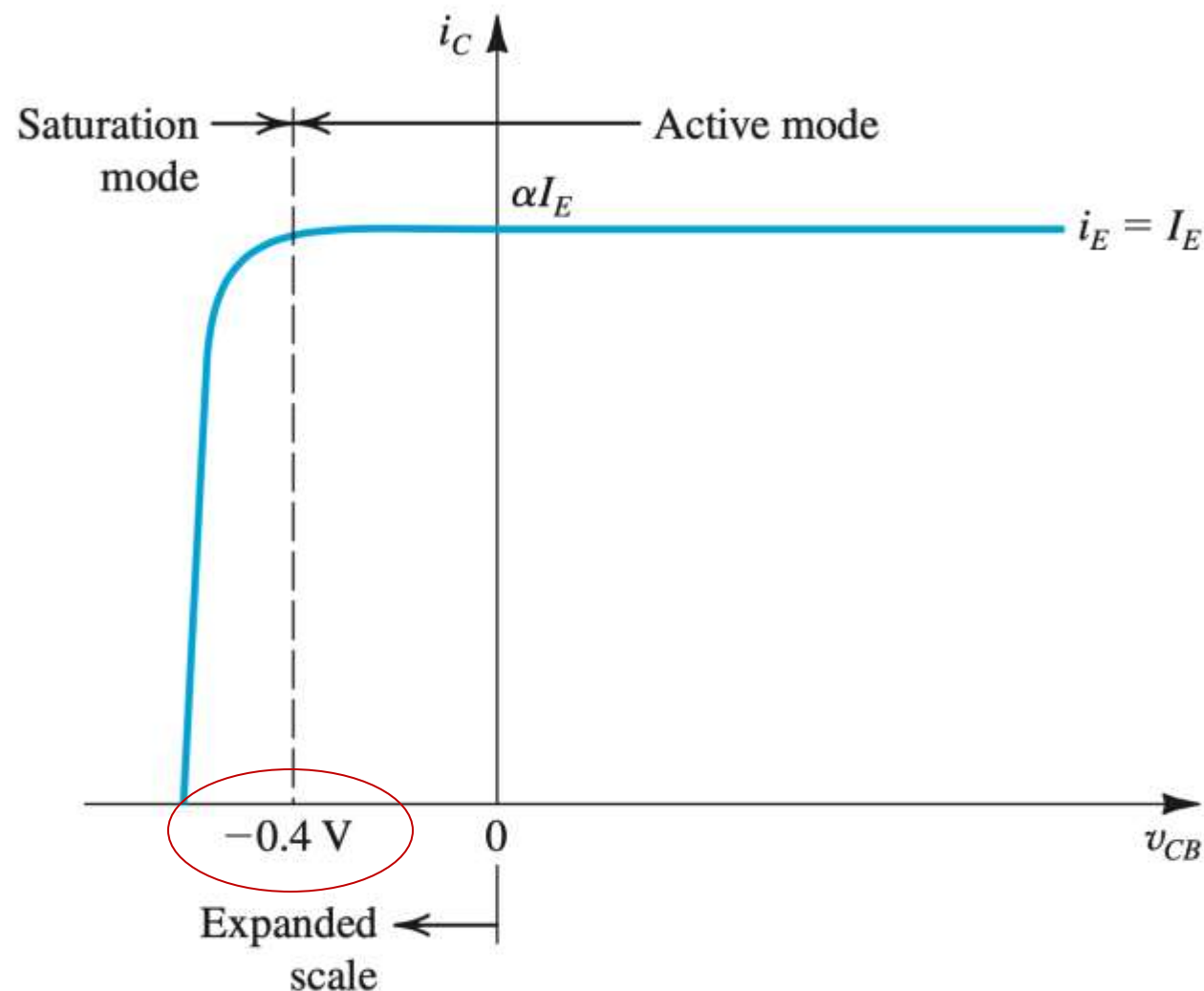


(a)



(b)

- $R_L$  增加, 导致  $V_X$  下降, 若  $V_X$  下降到小于一定程度, 则 BC pn 结反偏的条件不成立, 放大器将不再工作于放大区
- 因此,  $R_L$  不能无限制地增加, 其存在一个最大的可允许的值, 以确保三极管始终工作在放大区



三极管工作于放大区的条件：  
 $V_C$ 最低不得低于  
 $V_B - 0.4 \text{ V}$

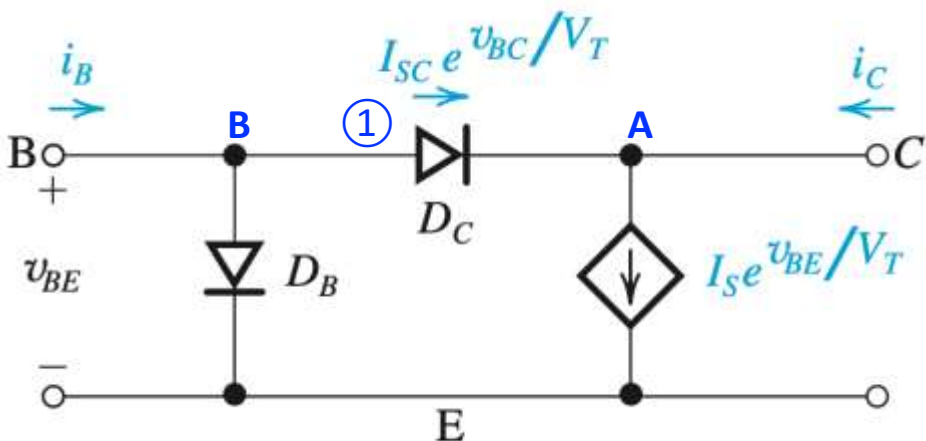
Q: How about MOSFET?

**Figure 6.8** The  $i_C$ – $v_{CB}$  characteristic of an *npn* transistor fed with a constant emitter current  $I_E$ . The transistor enters the saturation mode of operation for  $v_{CB} < -0.4 \text{ V}$ , and the collector current diminishes.

# 三极管工作于饱和区

Table 6.1 BJT Modes of Operation

Mode	EBJ	CBJ
Cutoff	Reverse	Reverse
Active	Forward	Reverse
Saturation	Forward	Forward



**Figure 6.9** Modeling the operation of an *nnp* transistor in saturation by augmenting the model of Fig. 6.5(c) with a forward-conducting diode  $D_C$ . Note that the current through  $D_C$  increases  $i_B$  and reduces  $i_C$ .

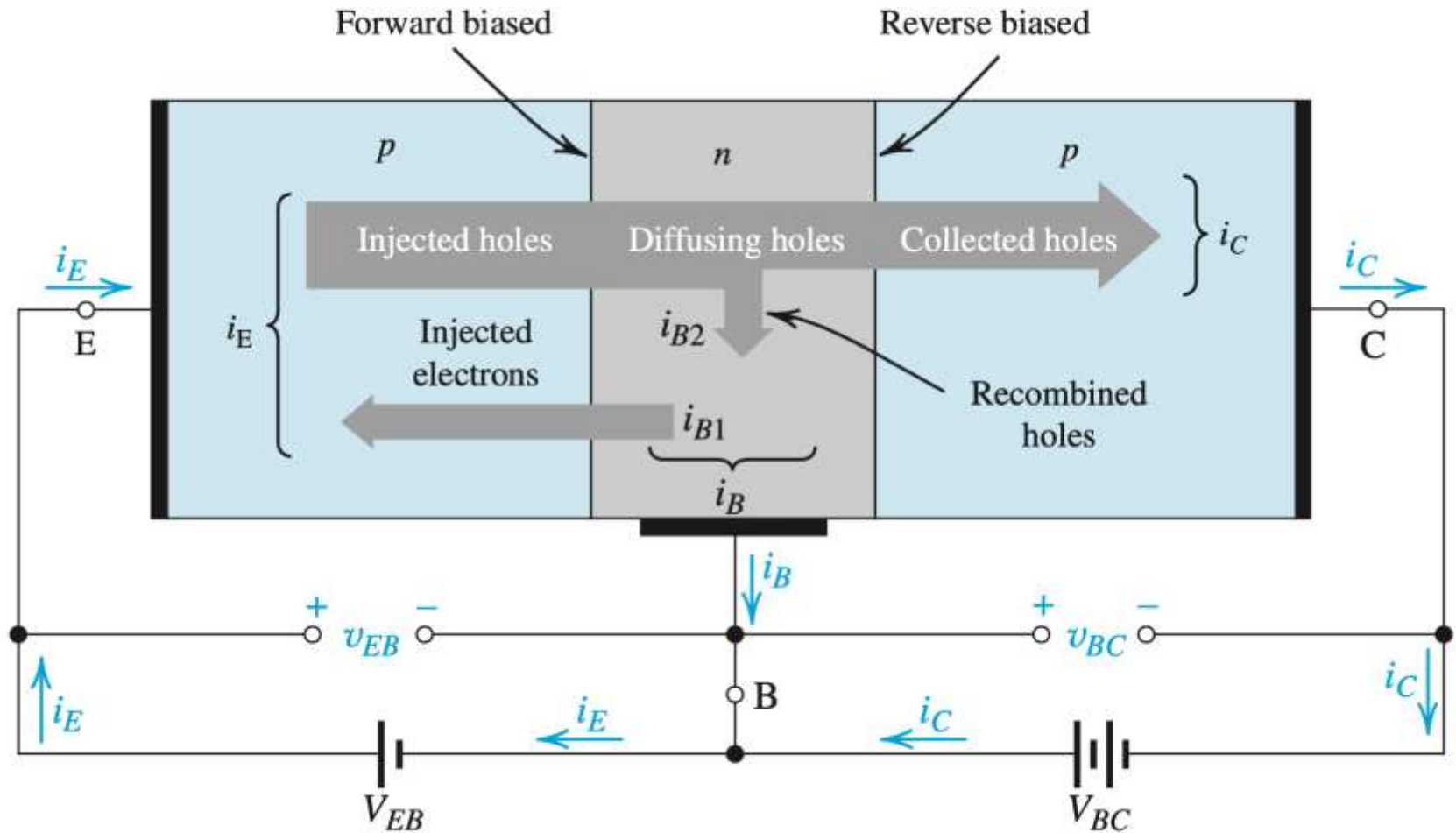
- ① BC结正偏，用二极管 $D_C$ 表征
- ②  $i_C$ 减小，基于A点KCL
- ③  $i_B$ 增加，基于B点KCL
- ④  $\beta = i_C/i_B$ 减小，可通过控制 $v_{BC}$ ，来控制 $\beta$ 的值
- ⑤ 判断三极管工作于饱和区的方法：

-  $v_C$ 比 $v_B$ 低，且相差不小于0.4V  $V_{CEsat} = V_{BE} - V_{BC}$

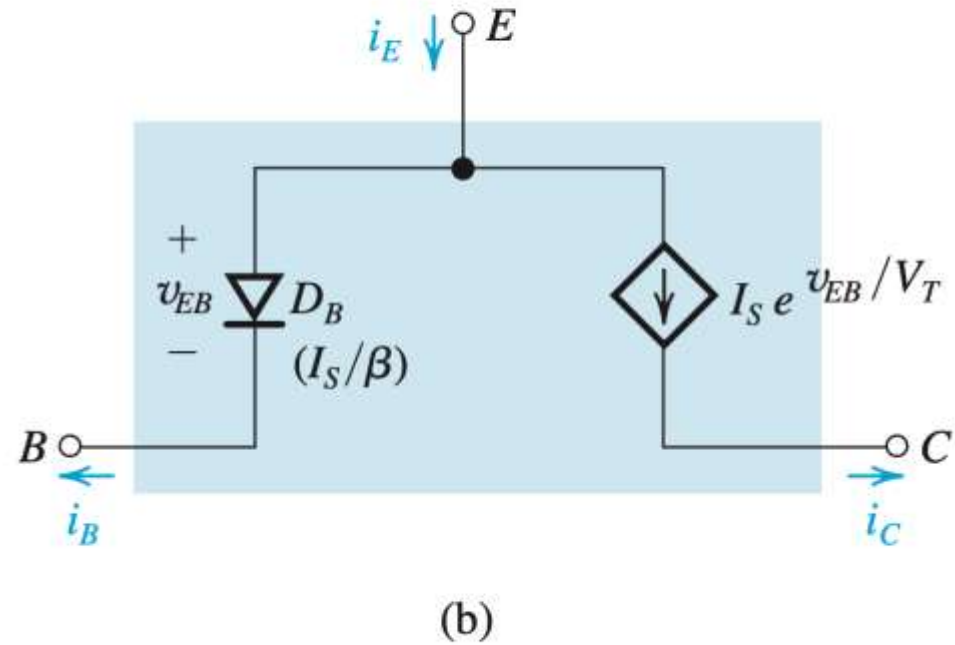
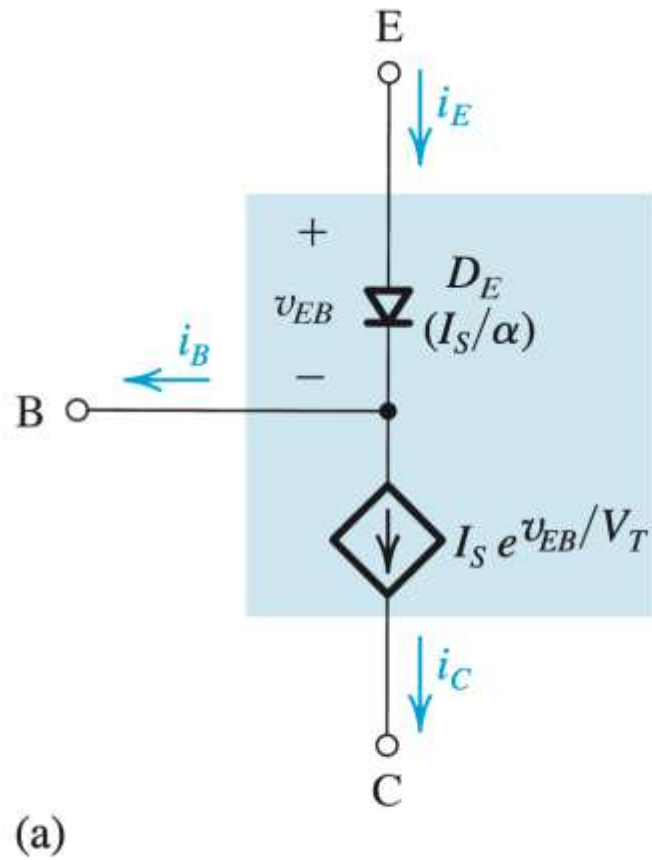
-  $i_C/i_B$  比管子标称的（工作于放大区时的） $\beta$ 要小

$$\beta_{\text{forced}} = \left. \frac{i_C}{i_B} \right|_{\text{saturation}} \leq \beta$$

# pn<sub>p</sub>三极管



**Figure 6.10** Current flow in a *pnp* transistor biased to operate in the active mode.



**Figure 6.11** Two large-signal models for the *pnp* transistor operating in the active mode.



# 三极管的I/V特性 “电压电流约束关系”

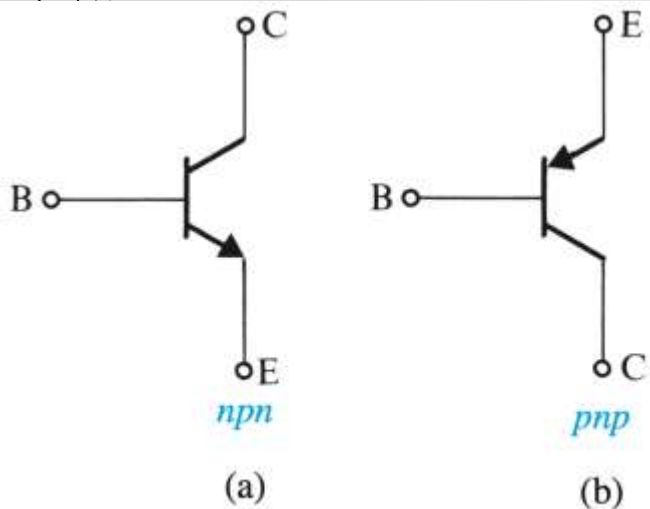


Figure 6.12 Circuit symbols for BJTs.

惯例:

电流从上往下流 (电压上面高、下面低)



nnp, C在上, E在下, 对应NMOS

pnp, C在下, E在上, 对应PMOS

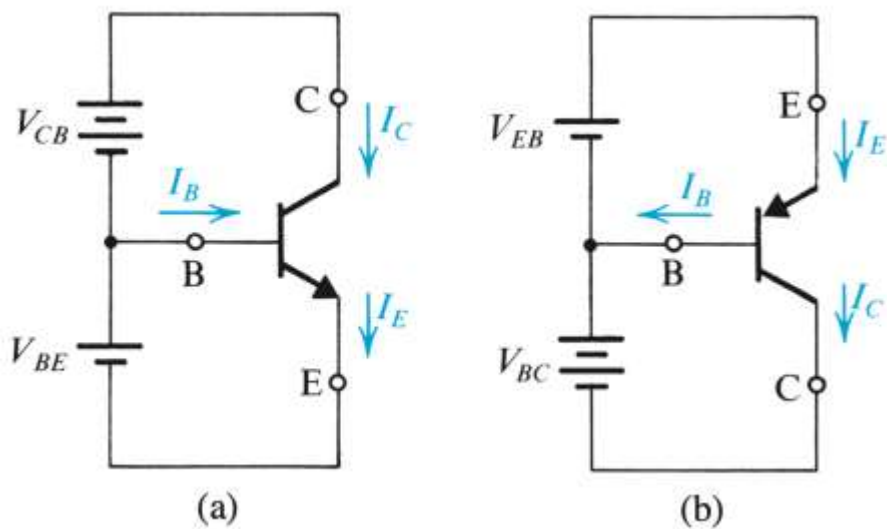
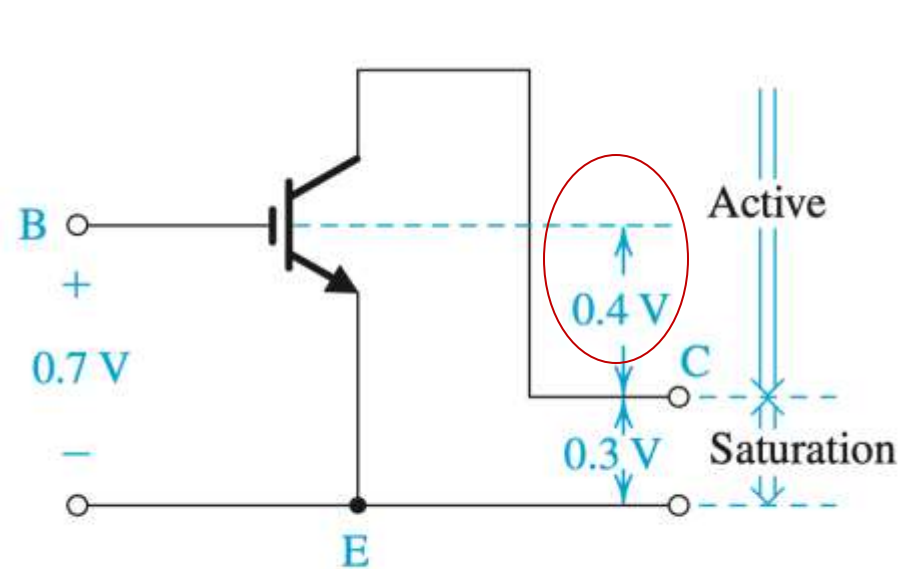


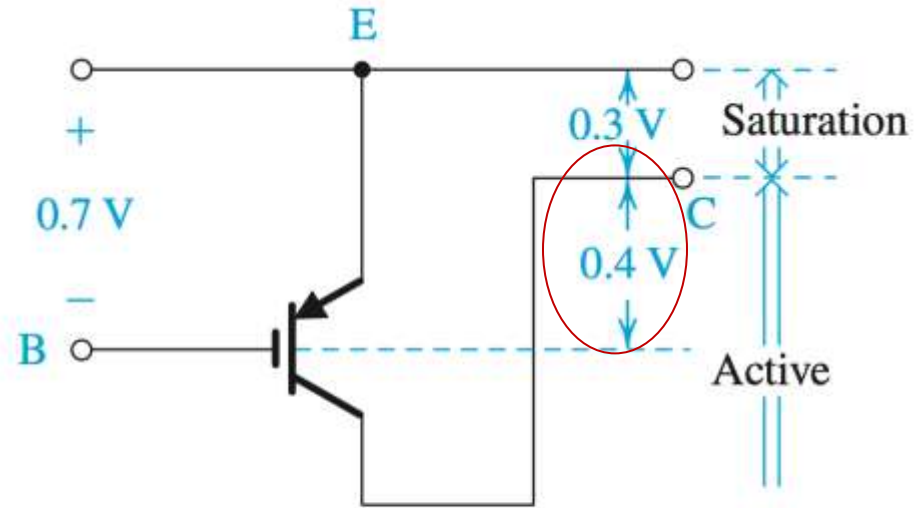
Figure 6.13 Voltage polarities and current flow in transistors operating in the active mode.



# 三极管工作区域的界限

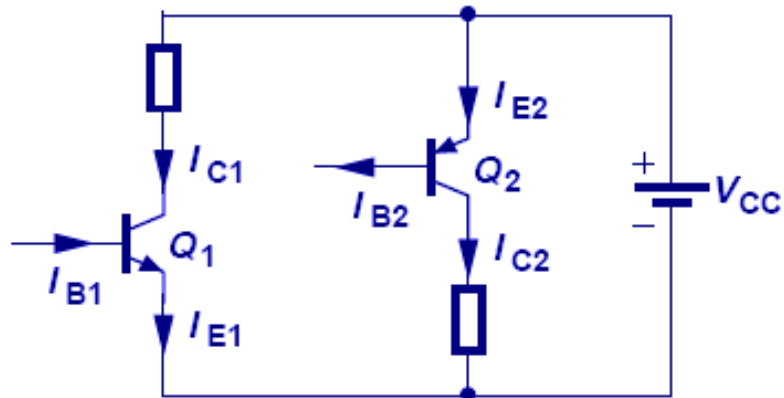


(a) npn

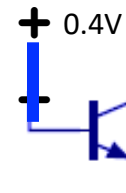


(b) pnp

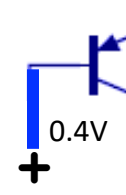
- 三极管工作于放大区的条件，BE结正偏，以及
  - 对于npn，C点电压最低不得低于 $V_B - 0.4$
  - 对于pnp，C点电压最高不得高于 $V_B + 0.4$
- How about MOSFET?



(a)

Active  
ModeEdge of  
Saturation

(a)

Saturation  
ModeActive  
ModeEdge of  
Saturation

(b)

Saturation  
Mode

- 注意电流方向以及电位高低

**Table 6.2** Summary of the BJT Current–Voltage Relationships in the Active Mode

$$i_C = I_S e^{v_{BE}/V_T}$$

$$i_B = \frac{i_C}{\beta} = \left( \frac{I_S}{\beta} \right) e^{v_{BE}/V_T}$$

$$i_E = \frac{i_C}{\alpha} = \left( \frac{I_S}{\alpha} \right) e^{v_{BE}/V_T}$$

*Note:* For the *pnp* transistor, replace  $v_{BE}$  with  $v_{EB}$ .

$$i_C = \alpha i_E \qquad i_B = (1 - \alpha) i_E = \frac{i_E}{\beta + 1}$$

$$i_C = \beta i_B \qquad i_E = (\beta + 1) i_B$$

$$\beta = \frac{\alpha}{1 - \alpha} \qquad \alpha = \frac{\beta}{\beta + 1}$$

$$V_T = \text{thermal voltage} = \frac{kT}{q} \simeq 25 \text{ mV at room temperature}$$

The transistor in the circuit of Fig. 6.15(a) has  $\beta = 100$  and exhibits a  $v_{BE}$  of 0.7 V at  $i_C = 1$  mA. Design the circuit so that a current of 2 mA flows through the collector and a voltage of +5 V appears at the collector.

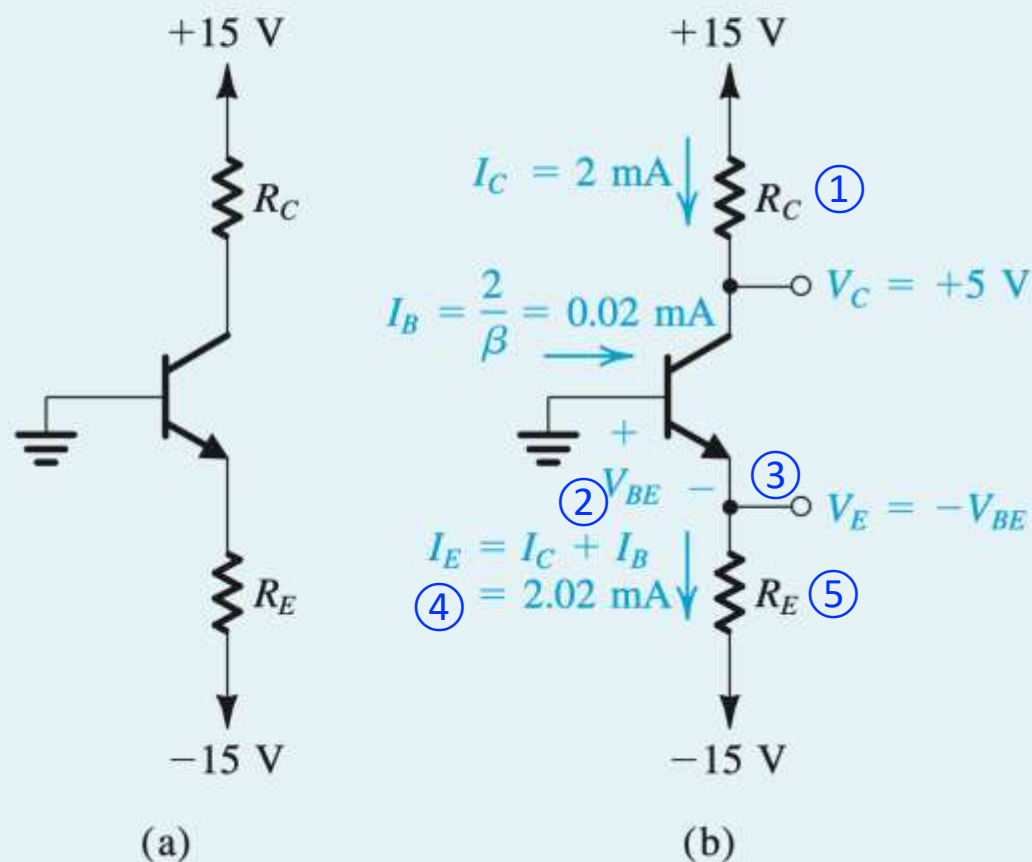


Figure 6.15 Circuit for Example 6.2.

$$\textcircled{1} \quad R_C = \frac{10 \text{ V}}{2 \text{ mA}} = 5 \text{ k}\Omega$$

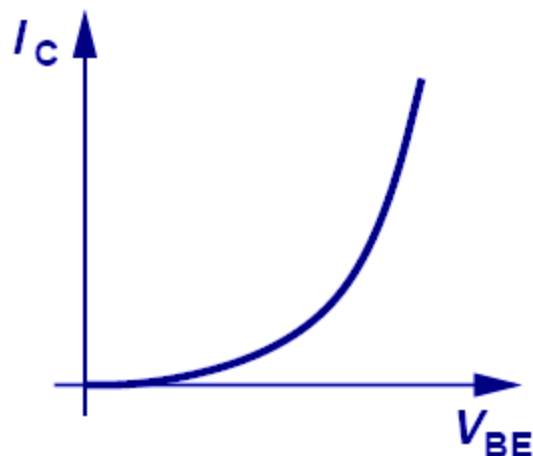
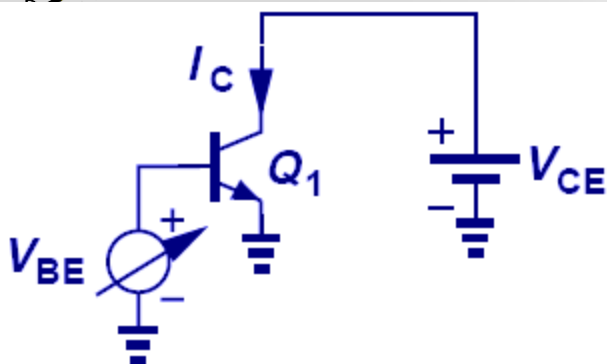
$$\textcircled{2} \quad V_{BE} = 0.7 + V_T \ln\left(\frac{2}{1}\right) = 0.717 \text{ V}$$

$$\textcircled{3} \quad V_E = -0.717 \text{ V}$$

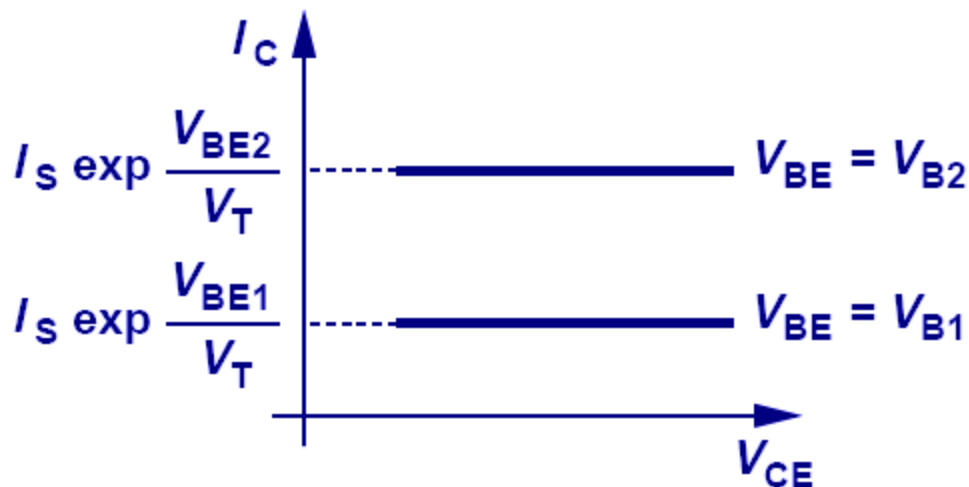
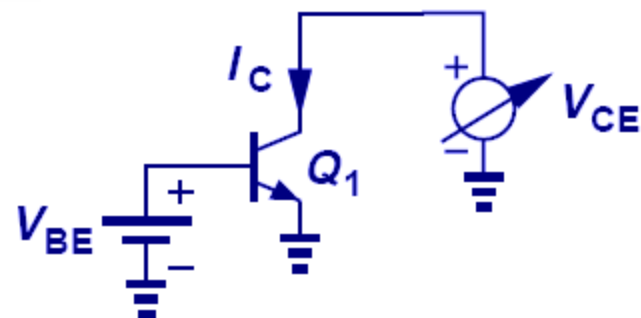
$$\textcircled{4} \quad I_E = \frac{I_C}{\alpha} = \frac{2}{0.99} = 2.02 \text{ mA}$$

$$\begin{aligned} \textcircled{5} \quad R_E &= \frac{V_E - (-15)}{I_E} \\ &= \frac{-0.717 + 15}{2.02} = 7.07 \text{ k}\Omega \end{aligned}$$

# 三极管的特性



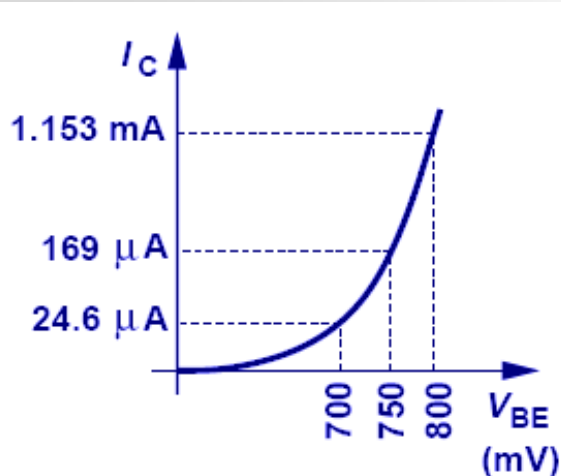
(a)



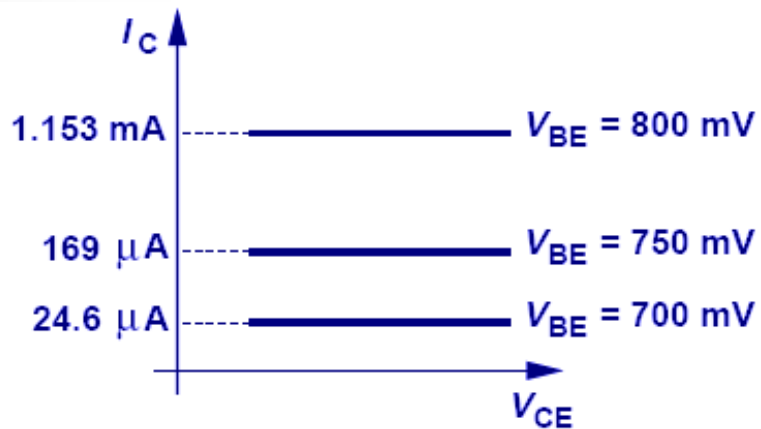
(b)

因是三端器件，分析比较复杂，一般我们**不同时变化两个电压量**。常规的分析方法是固定 $V_{CE}$ ，分析 $I_C$ 随 $V_{BE}$ 的变化（**转移特性**）；或固定 $V_{BE}$ ，分析 $I_C$ 随 $V_{CE}$ 的变化（**输出特性**）

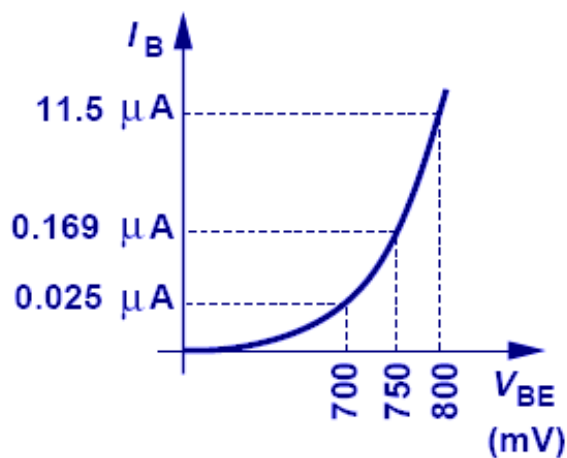
## Example: IV 特性



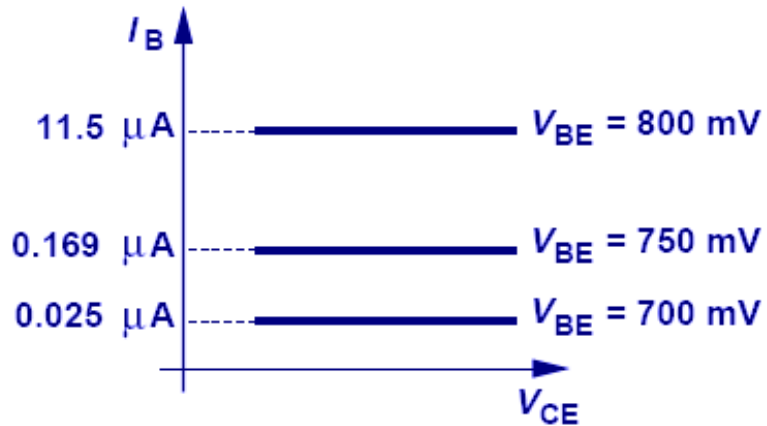
(a)



(b)

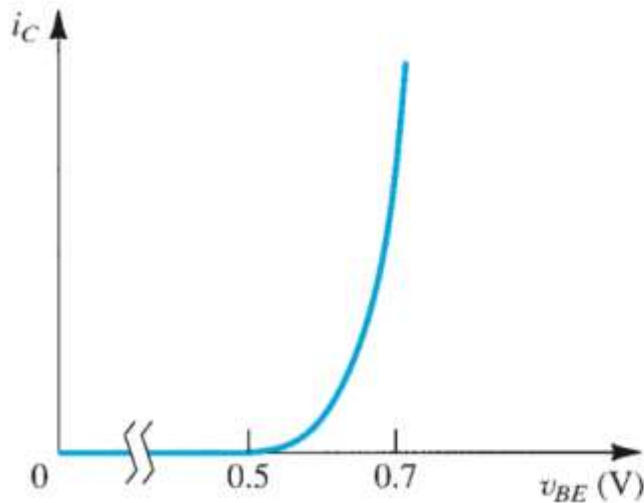


(c)



(d)

得到 $I_C$ 后,  $I_B$ 、 $I_E$ 可按比例写出

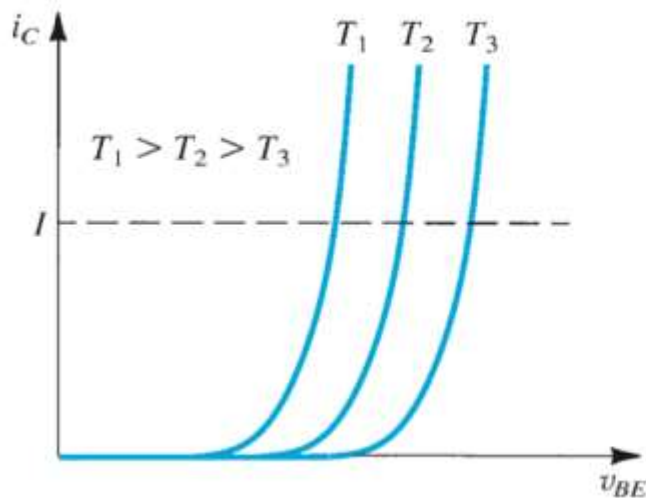


$i_C = I_S e^{v_{BE}/V_T}$  与二极管的特性一样

$v_{BE}$  每增加 60 mV, 电流  $\times 10$

→ 为了快速分析, 做近似:  $V_{BE} \simeq 0.7 \text{ V}$

**Figure 6.15** The  $i_C$ - $v_{BE}$  characteristic for an npn transistor.

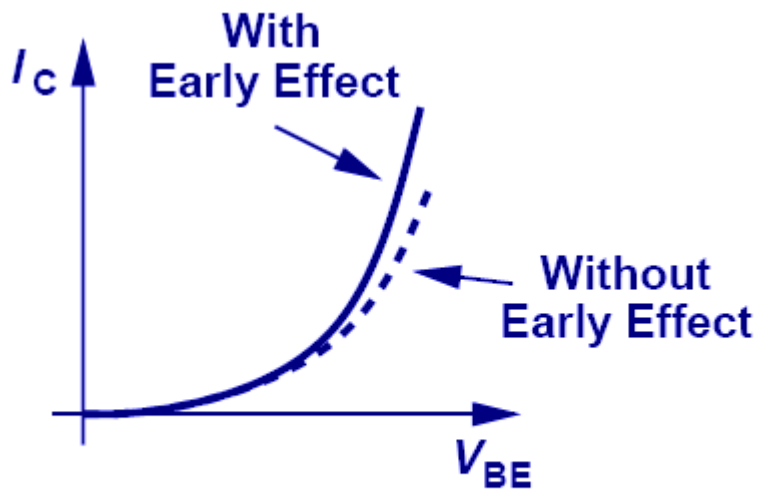


Q: MOSFET 直流分析时,  $V_{GS}$  并非为一个固定的值, Why?

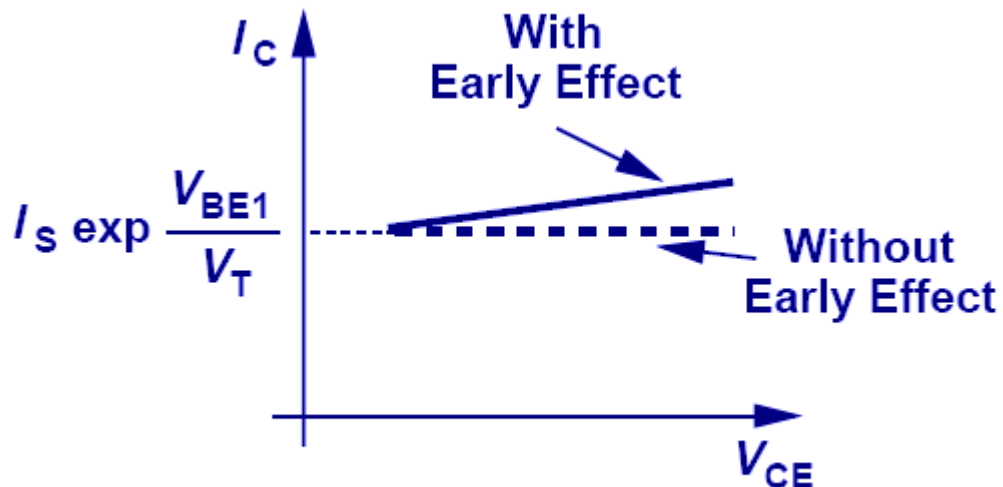
A: MOSFET 的  $I_D$  和  $V_{GS}$  关系为平方关系, 变化比指数关系平缓, 所以  $V_{GS}$  可变化范围比  $V_{BE}$  要大

**Figure 6.16** Effect of temperature on the  $i_C$ - $v_{BE}$  characteristic. At a constant emitter current (broken line),  $v_{BE}$  changes by  $-2 \text{ mV}/^\circ\text{C}$ .

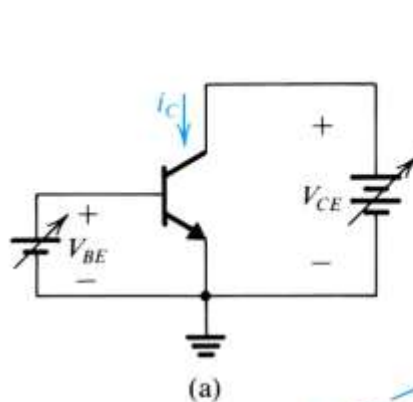
## Early Effect (厄雷效应)



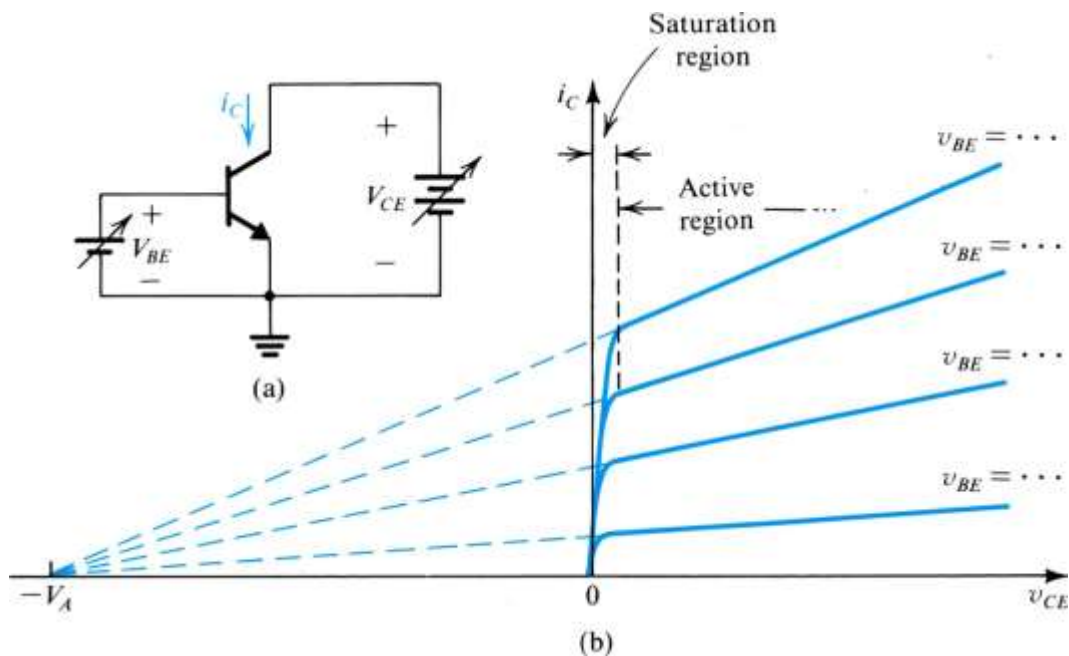
(a)



- 前面所述  $I_C$  不随  $V_{CE}$  变化，这在实际情况中是不精确的；
- $I_C$  vs  $V_{CE}$  不是保持水平，而是有轻微上扬；
- 对应于MOSFET中的沟道调制效应



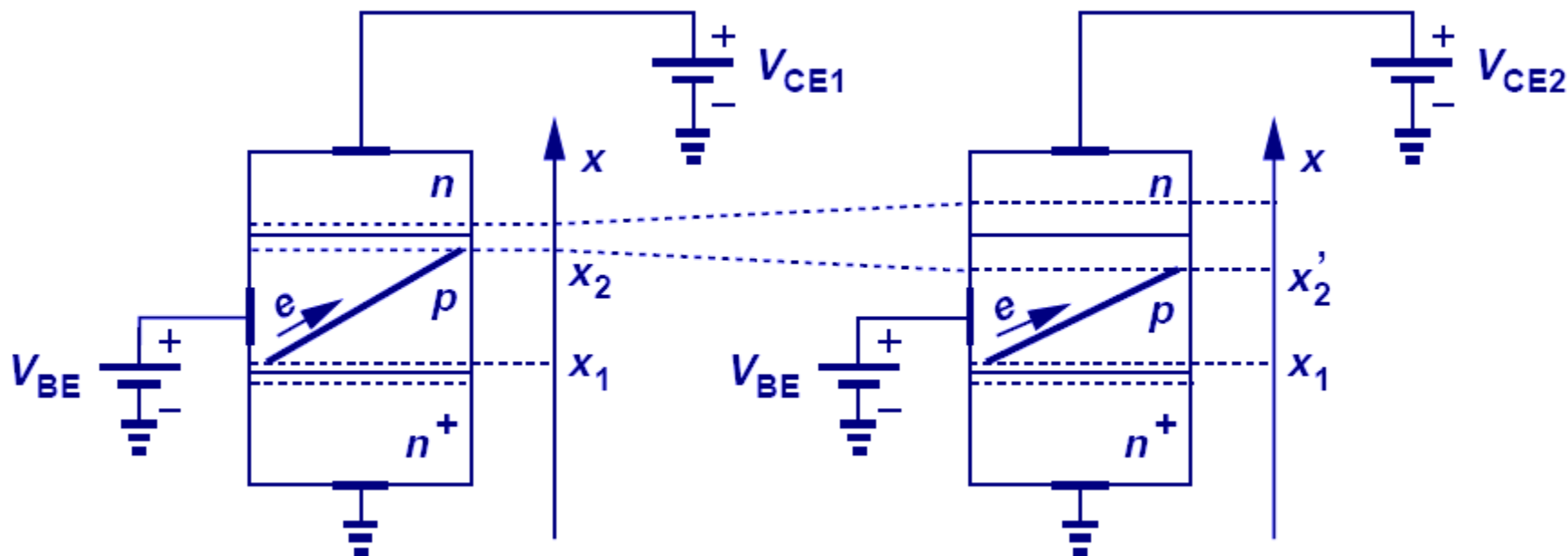
(a)



(b)

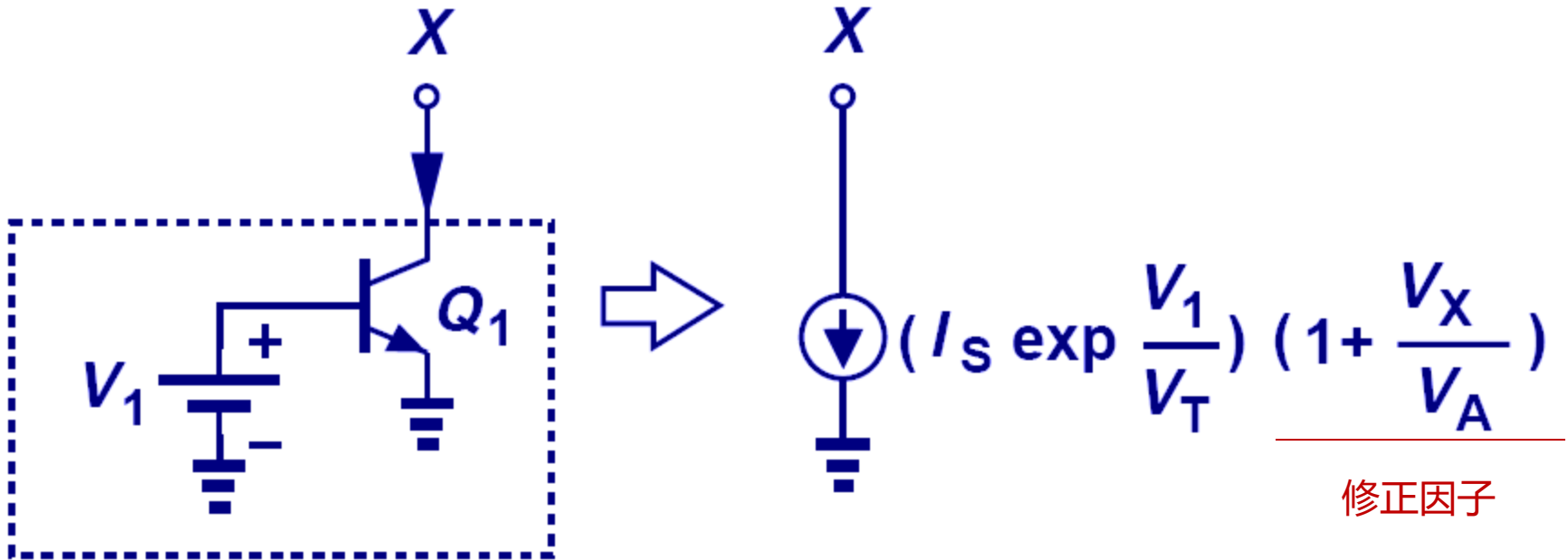


## 厄雷效应的起因



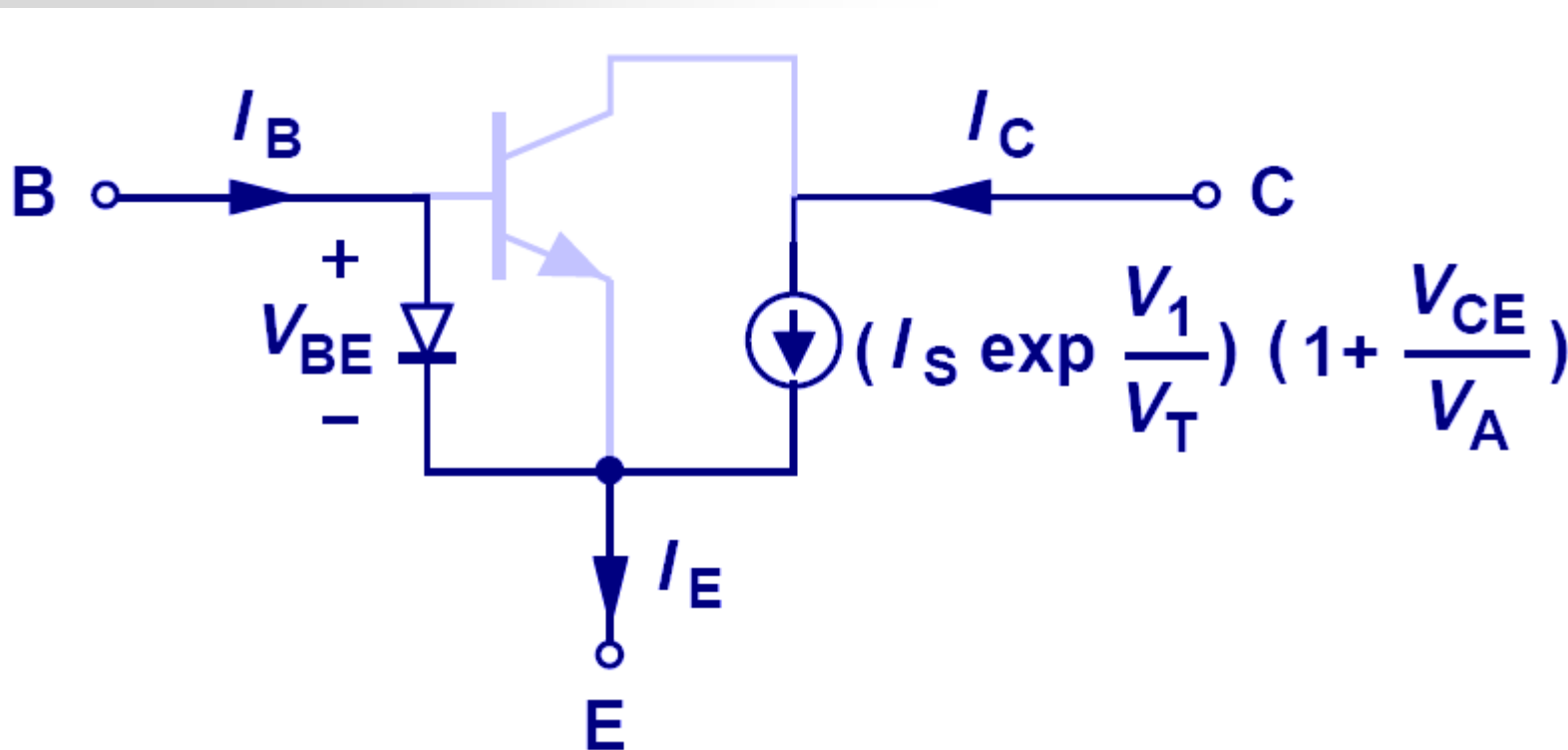
- 当  $V_{CE}$  增加时, BC pn结的反偏程度增加  $\rightarrow$  BC 耗尽区变宽 ( $x_2 \rightarrow x_2'$ )  $\rightarrow$  B区变窄  $\rightarrow$  电子浓度的变化加剧 (图中直线的斜率变大)  $\rightarrow I_C$  增加

# 厄雷效应对 $I_C$ 的影响



(回忆MOSFET的沟道调制效应)

# 厄雷效应对大信号模型的影响

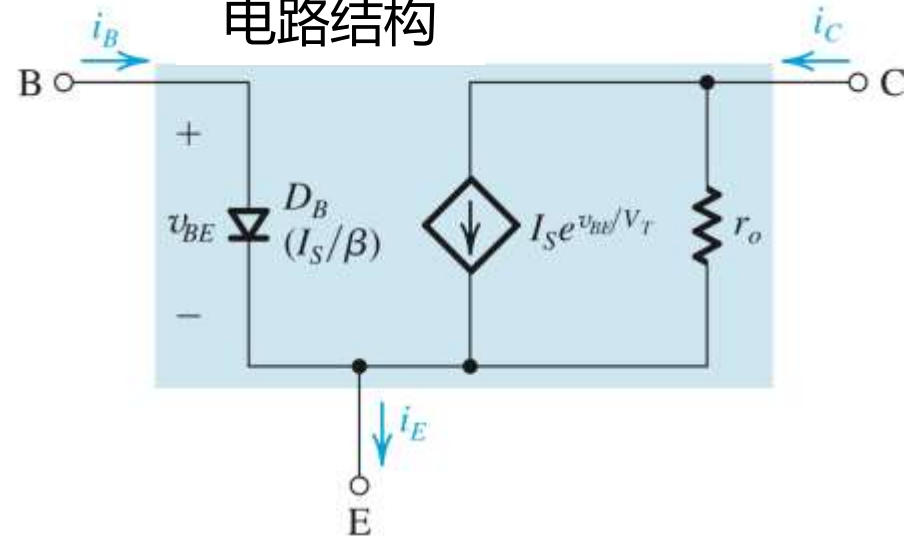


- 只需对 CE 之间的压控恒流源添加一修正因子，该修正因子可用一并联电阻表示（数学表达式→电路结构）
- BE之间不变化

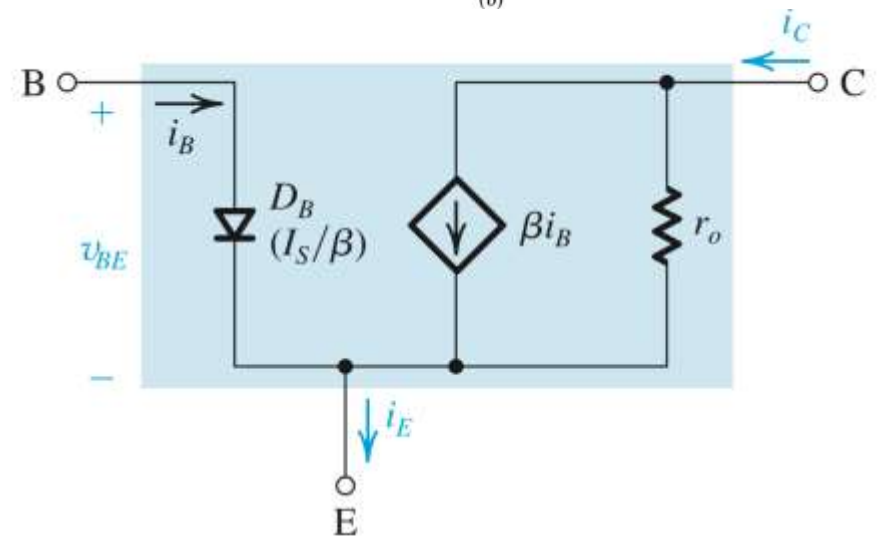
数学表达式

$$i_C = I_S e^{v_{BE}/V_T} \left( 1 + \frac{v_{CE}}{V_A} \right)$$

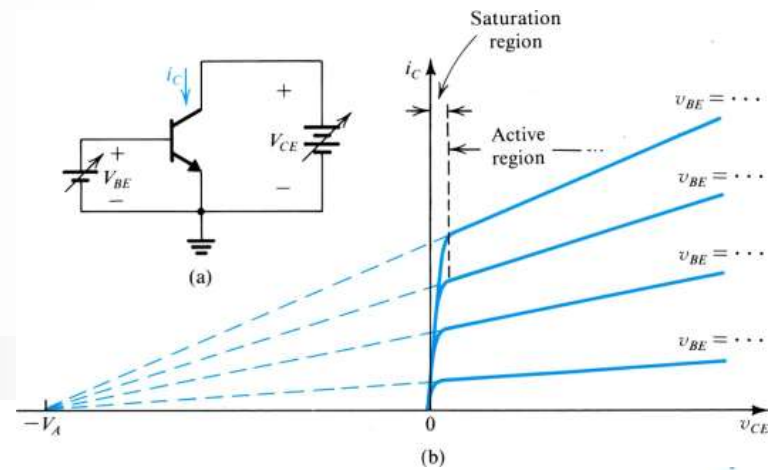
电路结构



(a)



(b)

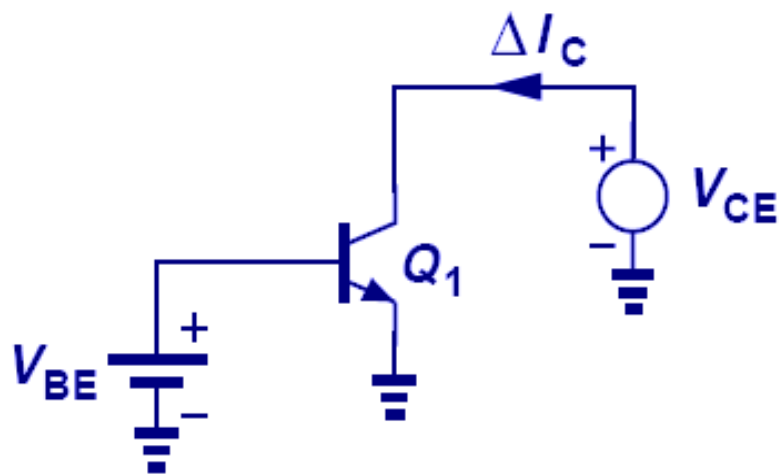


**Figure 6.19** Large-signal, equivalent-circuit models of an *nnpn* BJT operating in the active mode in the common-emitter configuration with the output resistance  $r_o$  included.

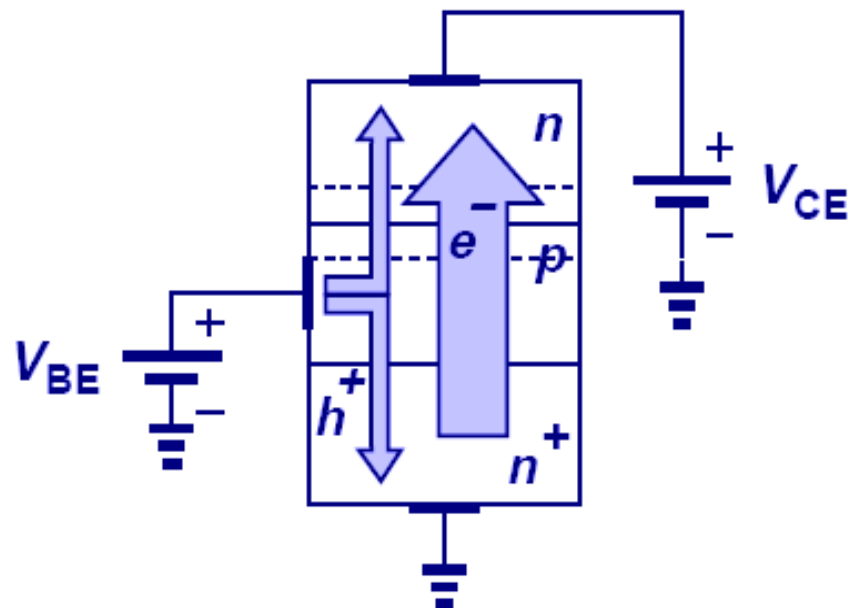
$$r_o = \frac{V_A}{I'_C}$$

$$I'_C = I_S e^{V_{BE}/V_T} \leftarrow \text{不考虑厄雷效应时的 } I_C$$

# 工作于“饱和区”的 三极管



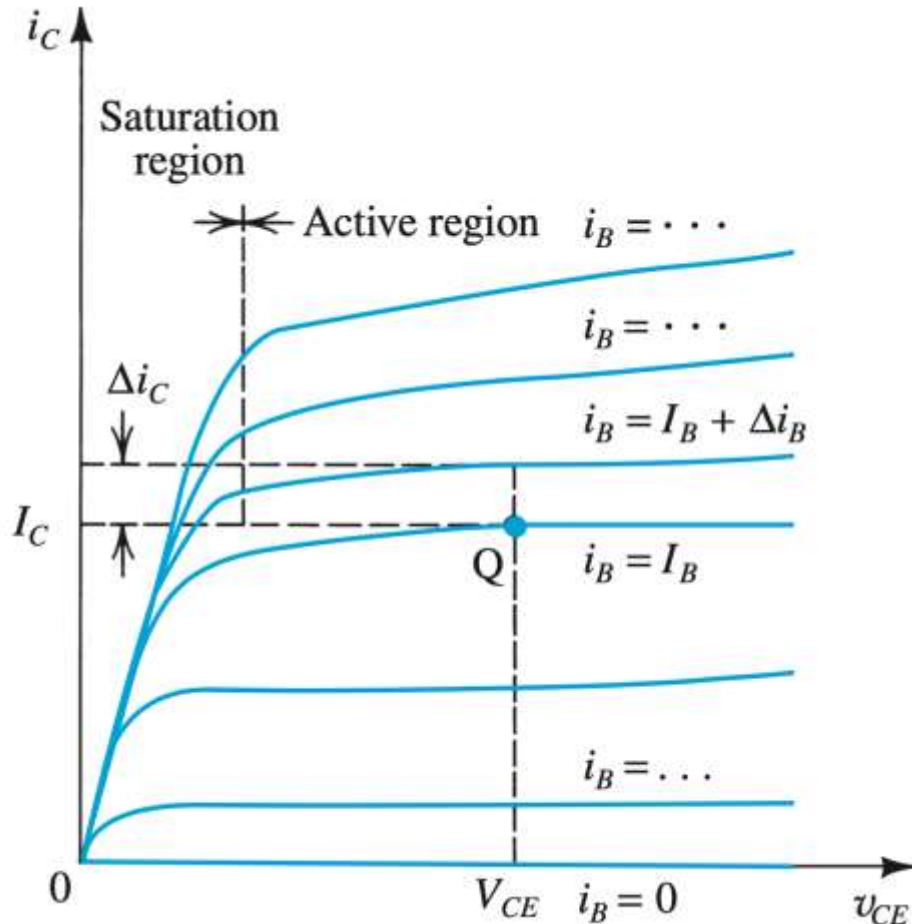
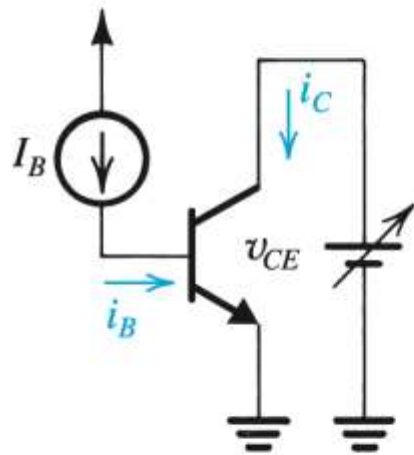
(a)



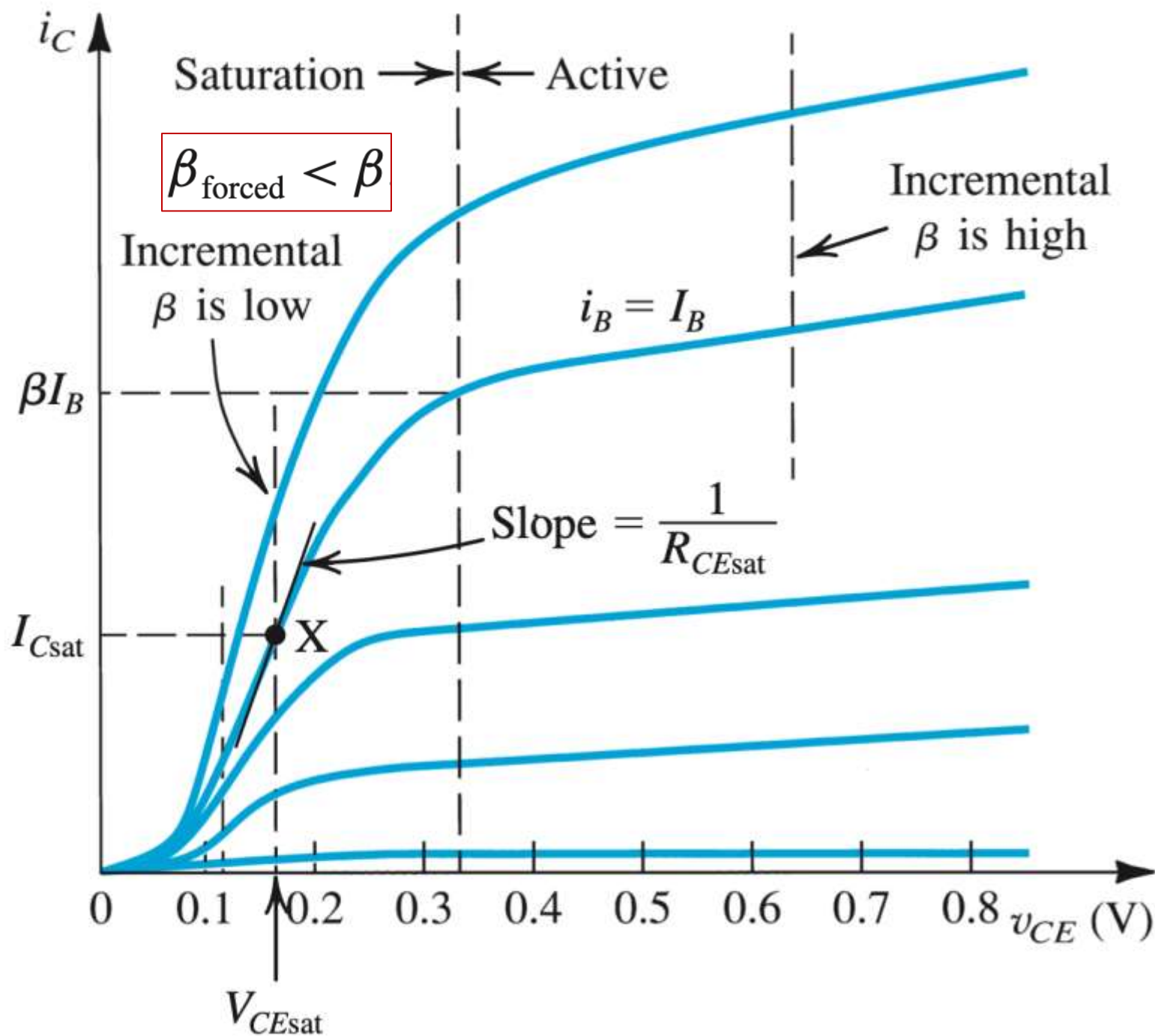
(b)

- 当 C 极电压降低，导致 BC pn 结反偏条件不成立时，三极管进入“饱和区”
- 进入饱和区后  $I_B$  增加（BC 正偏，新增 B 到 C 的空穴电流） $\rightarrow \beta$  减小.

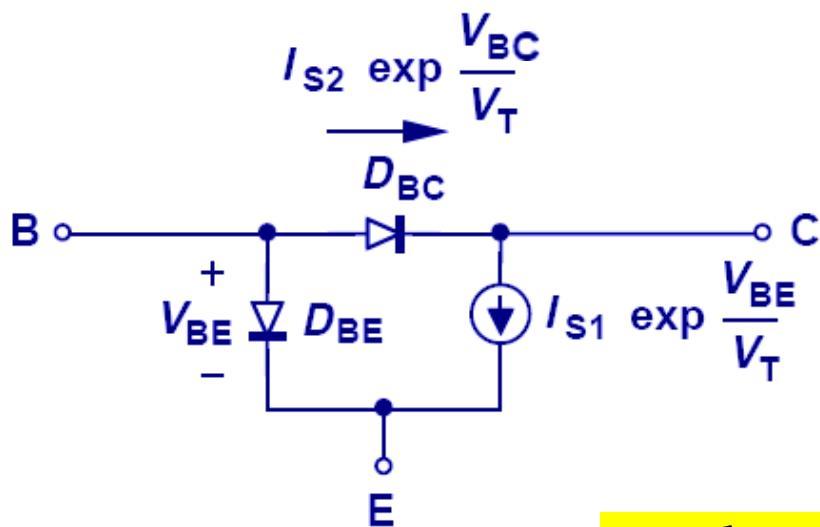
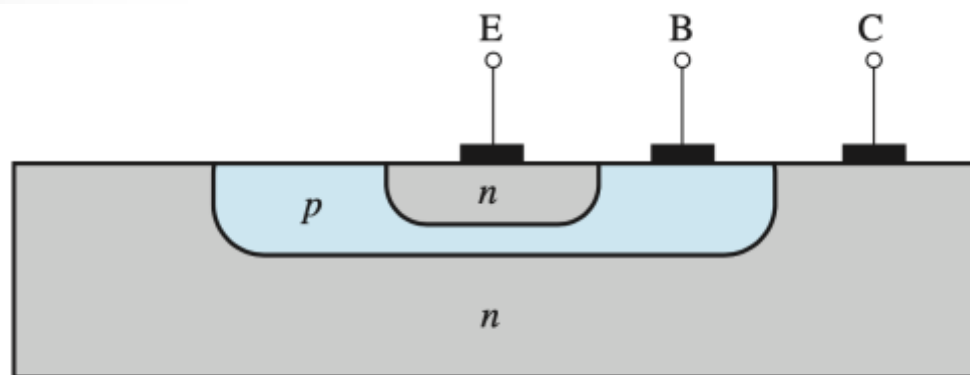
# Incremental $\beta$



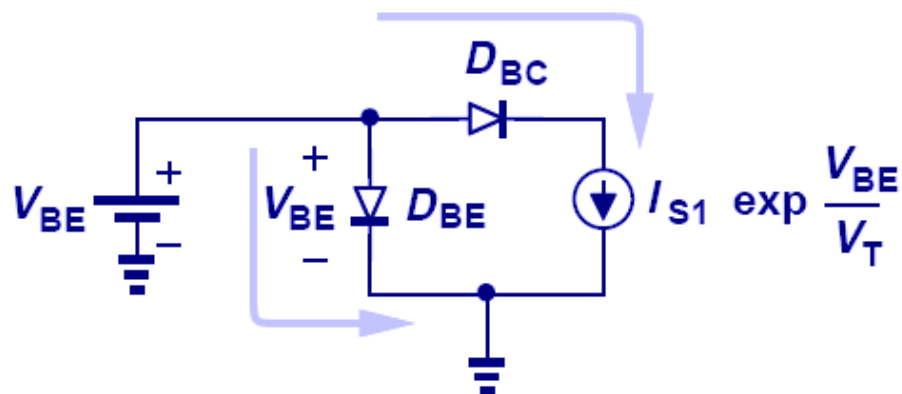
value of  $\beta$  (called **incremental**, or ac,  $\beta$ ) is a little different from the dc  $\beta$  (i.e.,  $I_C/I_B$ ). Such a distinction, however, is too subtle for our needs in this book. We shall use  $\beta$  to denote both dc and incremental values.<sup>10</sup>



# 处于饱和区三极管的大信号模型



(a)



(b)

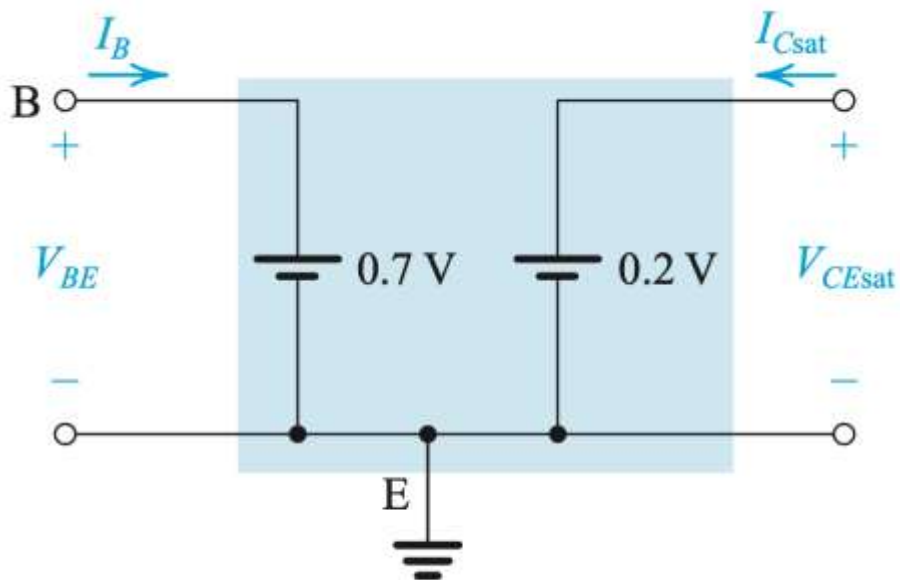
V<sub>b</sub>-0.4和V<sub>b</sub>-0.5注意, 中间为过渡区

BC 结的面积 > BE 结的面积  $\rightarrow I_{S, BC} > I_{S, BE}$

$\rightarrow V_{D_{BC}, on} < V_{D_{BE}, on} \rightarrow V_{D_{BE}, on} \approx 0.7V; V_{D_{BC}, on} \approx 0.5V$

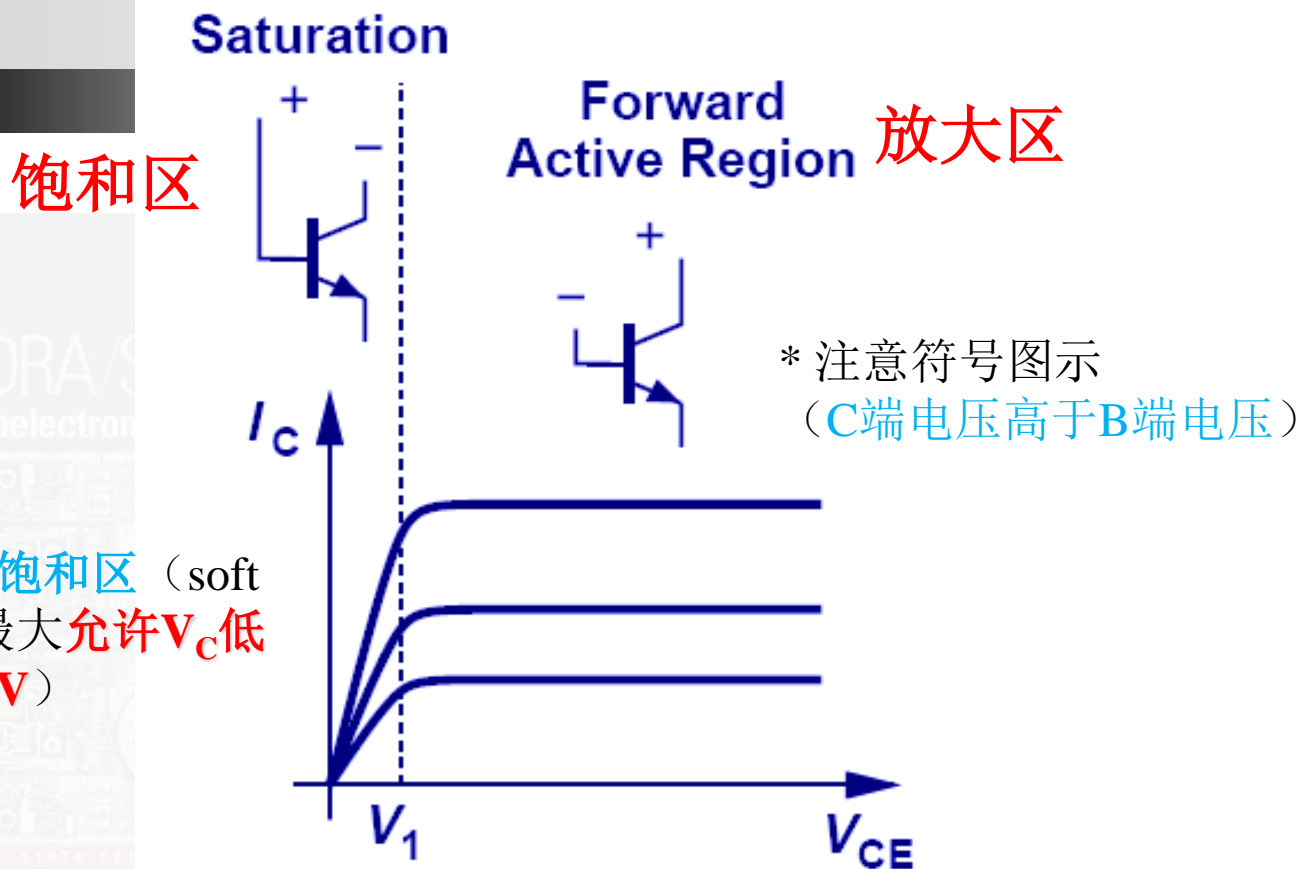


## 饱和区大信号模型



**Figure 6.21** A simplified equivalent-circuit model of the saturated transistor.

- 为了快速估算，特别是对于手算，采用上图所示的**简单**模型



临界处为**弱饱和区** (soft saturation, 最大允许 $V_C$ 低于 $V_B$  400 mV)

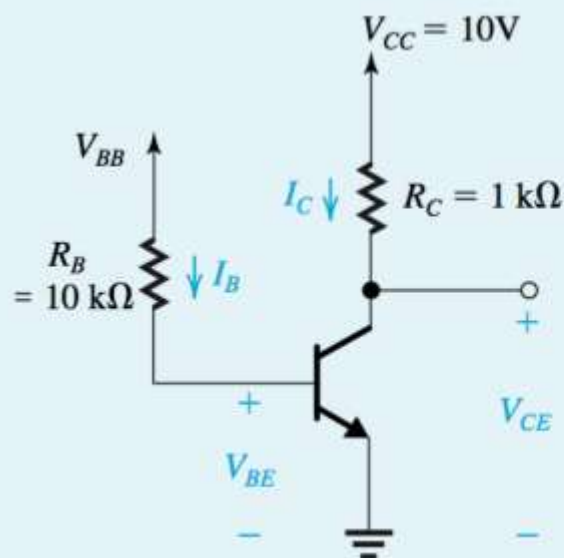
放大区到饱和区**不是突变**的, 一般把临界处 ( $V_C = V_B - 0.4V$ ) 的饱和区域称为**弱饱和区**; 相应地当 $V_{CE}$ 继续降低时, 称为**深饱和区** ( $V_{CE}=0.2V$ 近似)

## Example 6.3

For the circuit in Fig. 6.21, it is required to determine the value of the voltage  $V_{BB}$  that results in the transistor operating

- (a) in the active mode with  $V_{CE} = 5 \text{ V}$
- (b) at the edge of saturation
- (c) deep in saturation with  $\beta_{\text{forced}} = 10$

For simplicity, assume that  $V_{BE}$  remains constant at  $0.7 \text{ V}$ . The transistor  $\beta$  is specified to be 50.



$$\begin{aligned} \text{(a)} \quad I_C &= \frac{V_{CC} - V_{CE}}{R_C} & I_B &= \frac{I_C}{\beta} = \frac{5}{50} = 0.1 \text{ mA} \\ &= \frac{10 - 5}{1 \text{ k}\Omega} = 5 \text{ mA} & V_{BB} &= I_B R_B + V_{BE} \\ & & &= 0.1 \times 10 + 0.7 = 1.7 \text{ V} \end{aligned}$$

$$\begin{aligned} \text{(b)} \quad V_{CE} &= 0.3 \text{ V}, \quad I_C = \frac{10 - 0.3}{1} = 9.7 \text{ mA} \\ I_B &= \frac{9.7}{50} = 0.194 \text{ mA} & V_{BB} &= 0.194 \times 10 + 0.7 = 2.64 \text{ V} \end{aligned}$$

Figure 6.21 Circuit for Example 6.3.

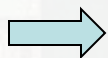
$$\text{(c)} \quad V_{CE} = V_{CE\text{sat}} \approx 0.2 \text{ V} \quad I_C = \frac{10 - 0.2}{1} = 9.8 \text{ mA}$$

$$I_B = \frac{I_C}{\beta_{\text{forced}}} = \frac{9.8}{10} = 0.98 \text{ mA}$$

$$V_{BB} = 0.98 \times 10 + 0.7 = 10.5 \text{ V}$$

# PNP 晶体管的方程

*Early Effect*



$$I_C = I_S \exp \frac{V_{EB}}{V_T}$$

$$I_B = \frac{I_S}{\beta} \exp \frac{V_{EB}}{V_T}$$

$$I_E = \frac{\beta + 1}{\beta} I_S \exp \frac{V_{EB}}{V_T}$$

$$I_C = \left( I_S \exp \frac{V_{EB}}{V_T} \right) \left( 1 + \frac{V_{EC}}{V_A} \right)$$

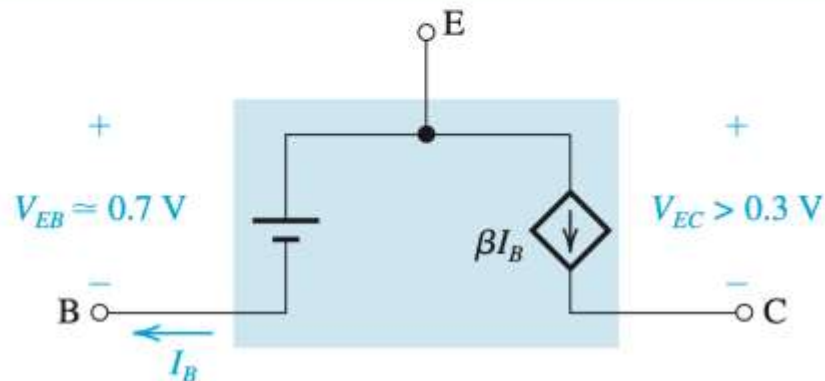
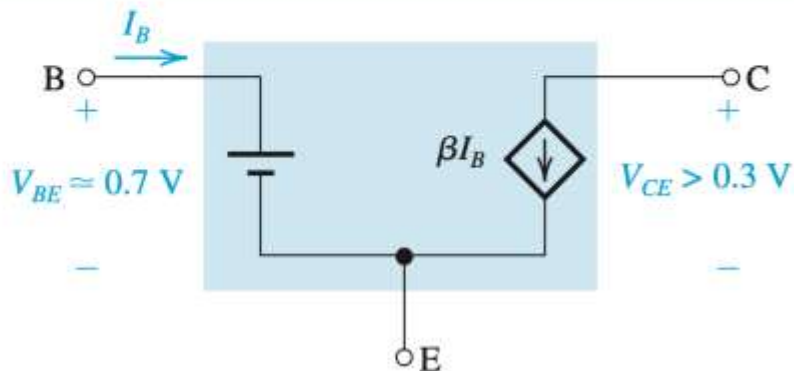
注意：PNP使用 $V_{EB}$ 、 $V_{EC}$ ，NPN使用 $V_{BE}$ 、 $V_{CE}$   
(电压高的字母在前面，或者使用绝对值)

**Table 6.3** Simplified Models for the Operation of the BJT in DC Circuits

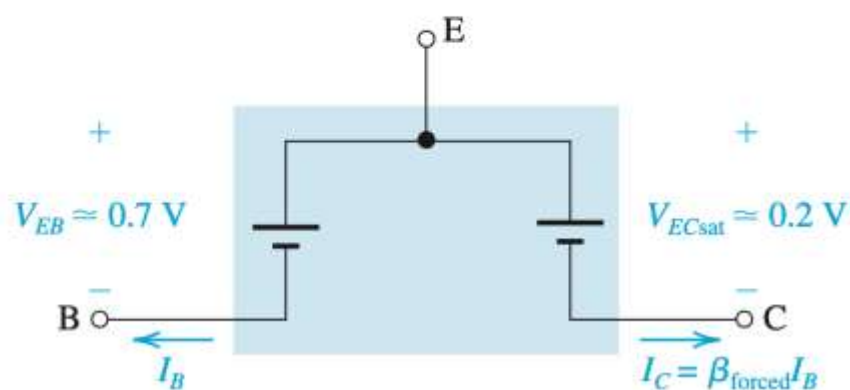
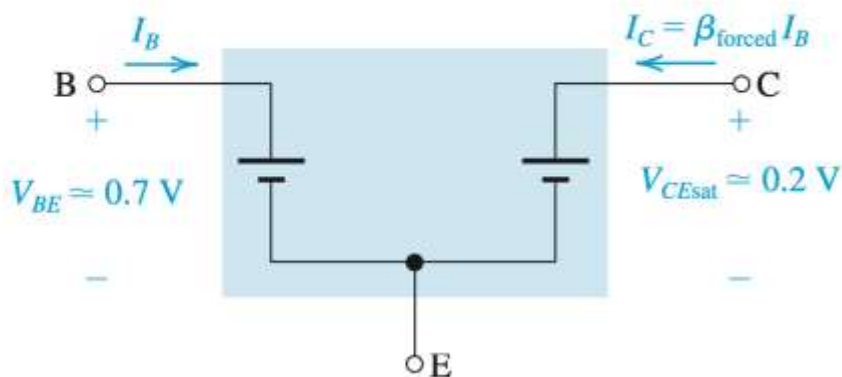
*nnp*

*pnp*

**Active**  
EBJ:  
Forward  
Biased  
  
CBJ:  
Reverse  
Biased



**Saturation**  
EBJ:  
Forward  
Biased  
  
CBJ:  
Forward  
Biased



# 小结

Table 6.1 BJT Modes of Operation

Mode	EBJ	CBJ
Cutoff	Reverse	Reverse
Active	Forward	Reverse
Saturation	Forward	Forward

54

## ■ 三极管的工作区域及其特性

### ■ 放大区

$$i_C = I_S e^{v_{BE}/V_T} \quad i_B = \frac{i_C}{\beta}$$

$$i_E = i_C + i_B$$

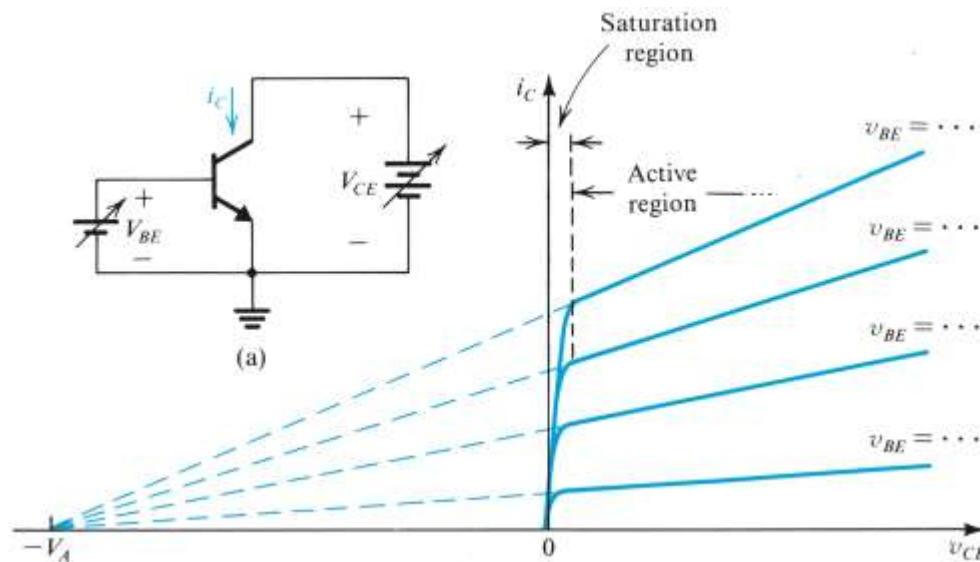
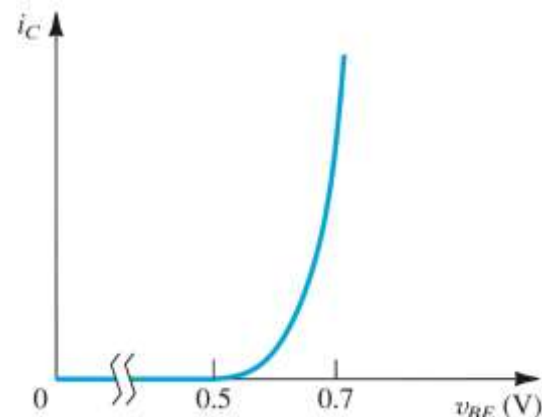
$$i_C = \alpha i_E \quad \alpha = \frac{\beta}{\beta + 1}$$

### ■ 工作在放大区的条件

- 看 $V_C$ 和 $V_B$ 之间的关系

## ■ 熟练掌握转移特性和输出特性的曲线及关键坐标点

## ■ Table 6.3 大信号模型



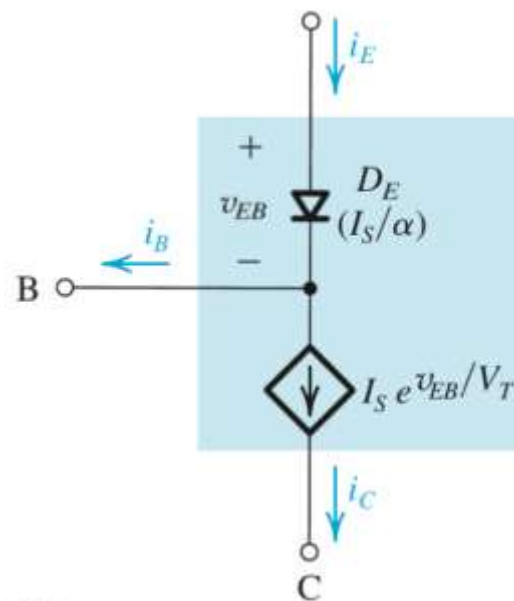
# 作业

**6.5** A transistor for which  $I_S = 10^{-16}$  A and  $\beta = 100$  is conducting a collector current of 1 mA. Find  $v_{BE}$ . Also, find  $I_{SE}$  and  $I_{SB}$  for this transistor.

**Ans.** 747.5 mV;  $1.01 \times 10^{-16}$  A;  $10^{-18}$  A

**6.10** Consider the model in Fig. 6.11(a) applied in the case of a *pnp* transistor whose base is grounded, whose emitter is fed by a constant-current source of 2 mA, and whose collector is connected to a  $-10$ -V dc supply. Find the emitter voltage, the base current, and the collector current if  $\beta = 50$  and  $I_S = 10^{-14}$  A.

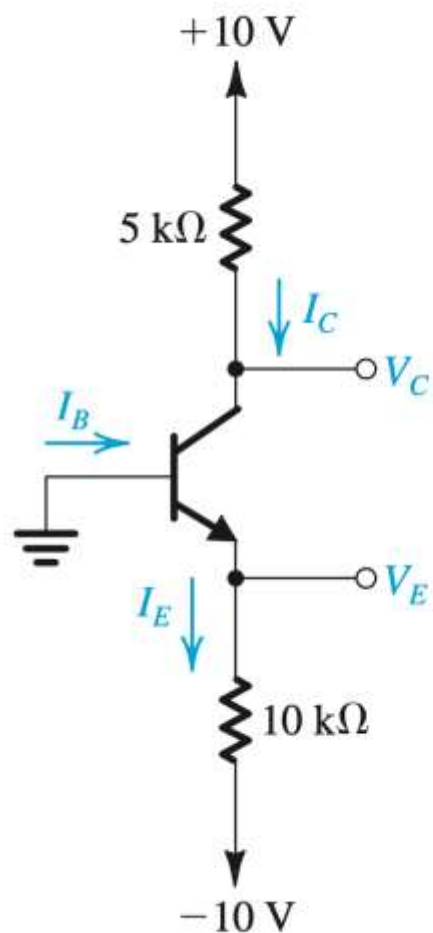
**Ans.** 0.650 V; 39.2  $\mu$ A; 1.96 mA



(a)



**6.13** In the circuit shown in Fig. E6.13, the voltage at the emitter was measured and found to be  $-0.7$  V. If  $\beta = 50$ , find  $I_E$ ,  $I_B$ ,  $I_C$ , and  $V_C$ .

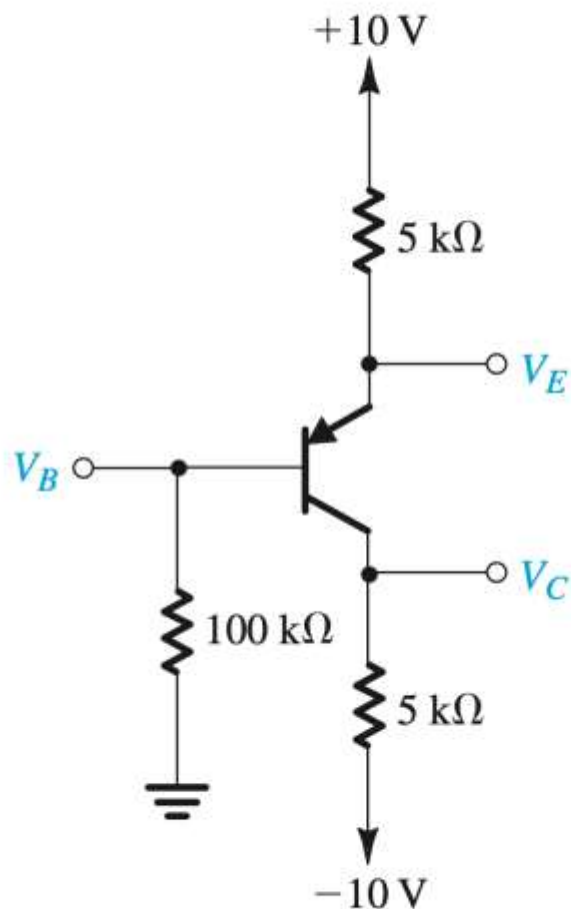


**Figure E6.13**

**Ans.**  $0.93\text{ mA}$ ;  $18.2\text{ }\mu\text{A}$ ;  $0.91\text{ mA}$ ;  $+5.45\text{ V}$



**6.14** In the circuit shown in Fig. E6.14, measurement indicates  $V_B$  to be  $+1.0$  V and  $V_E$  to be  $+1.7$  V. What are  $\alpha$  and  $\beta$  for this transistor? What voltage  $V_C$  do you expect at the collector?



**Figure E6.14**

**Ans.**  $0.994$ ;  $165$ ;  $-1.75$  V

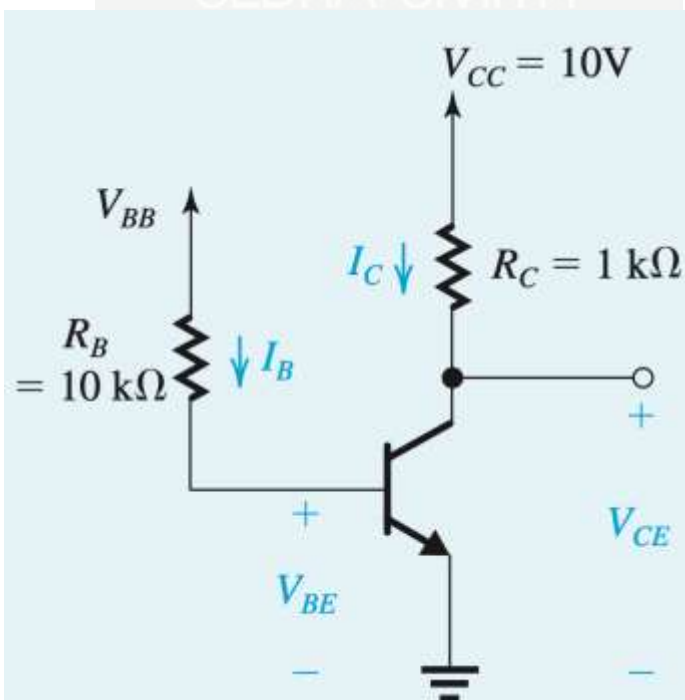
**6.17** Find the output resistance of a BJT for which  $V_A = 100$  V at  $I_C = 0.1$ , 1, and 10 mA.

**Ans.** 1 M $\Omega$ ; 100 k $\Omega$ ; 10 k $\Omega$

**6.21** For the circuit in Fig. 6.22, let  $V_{BB}$  be set to the value obtained in Example 6.3, part (a), namely,  $V_{BB} = 1.7$  V. Verify that the transistor is indeed operating in the active mode. Now, while keeping  $V_{BB}$  constant, find the value to which  $R_C$  should be increased in order to obtain (a) operation at the edge of saturation and (b) operation deep in saturation with  $\beta_{\text{forced}} = 10$ .

**Ans.** (a) 1.94 k $\Omega$ ; (b) 9.8 k $\Omega$

For simplicity, assume that  $V_{BE}$  remains constant at 0.7 V. The transistor  $\beta$  is specified to be 50.



**Figure 6.22** Circuit for Example 6.3.